

<必ずお読みください>

- **本ファイルのデータの利用等についての注意事項**

- 本ファイルを基に加工・作成を行った資料等について、科学技術・学術政策研究所は一切責任を持ちません。

- **本ファイルの出典の記述方法**

- 本ファイルのデータをそのまま活用する場合は下記のように表示してください。

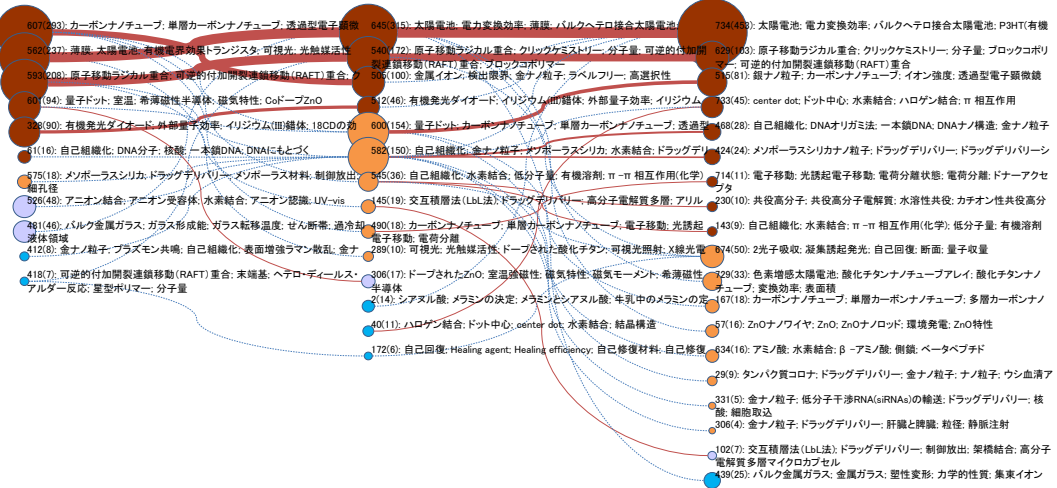
(出典)文部科学省 科学技術・学術政策研究所、サイエンスマップ 2010 & 2012、
NISTEP REPORT No.159、2014 年 7 月

- 本ファイルのデータを加工して活用する場合

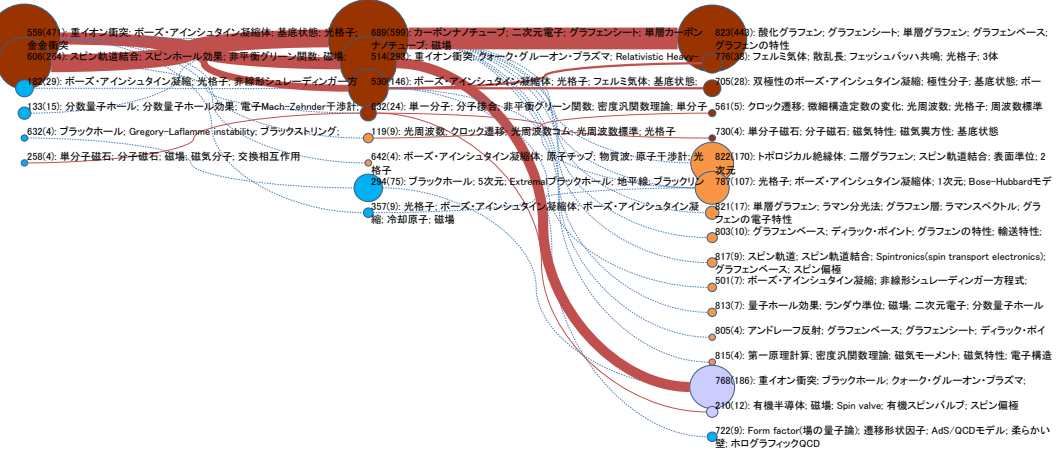
本ファイルに掲載しているデータを独自に加工し資料に用いる場合は、下記のように表示をしてください。

(出典)文部科学省 科学技術・学術政策研究所、サイエンスマップ 2010 & 2012、
NISTEP REPORT No.159、2014 年 7 月を基に、○○○が加工・作成。

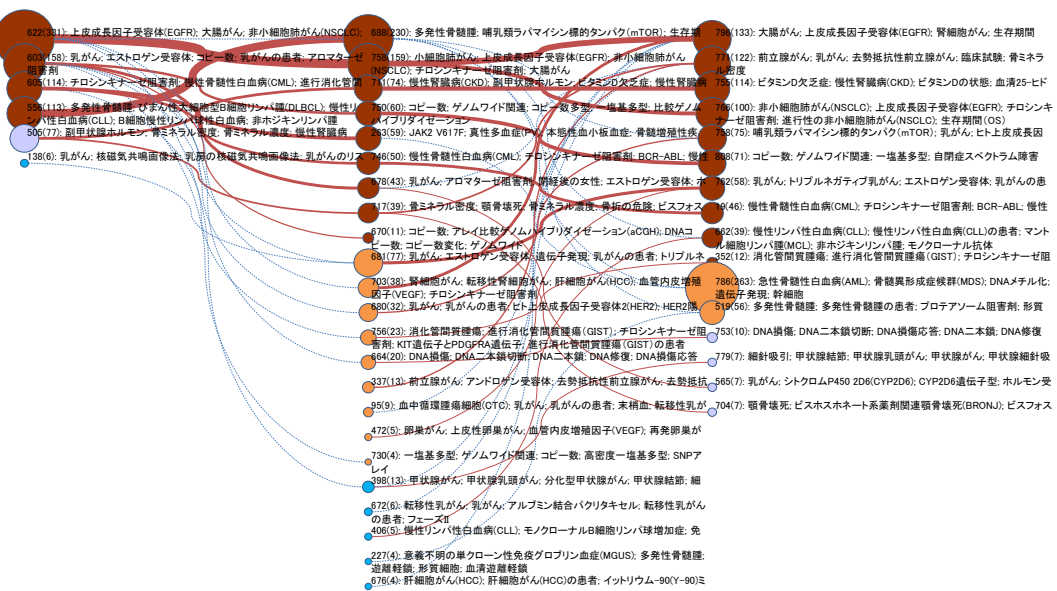
Stream:1



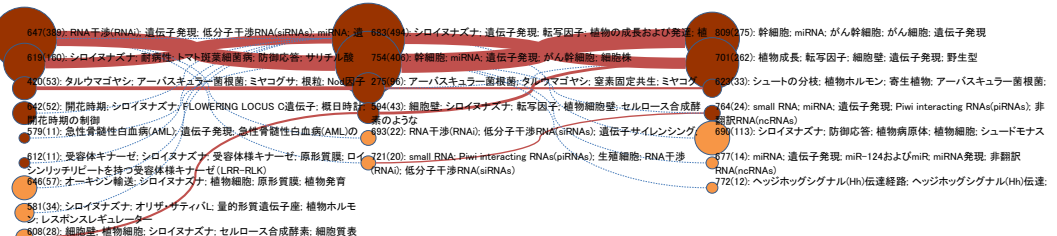
Stream:2

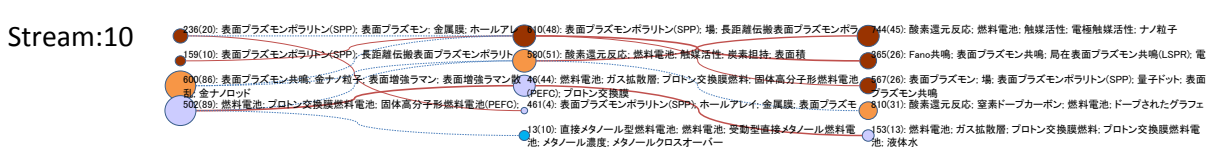
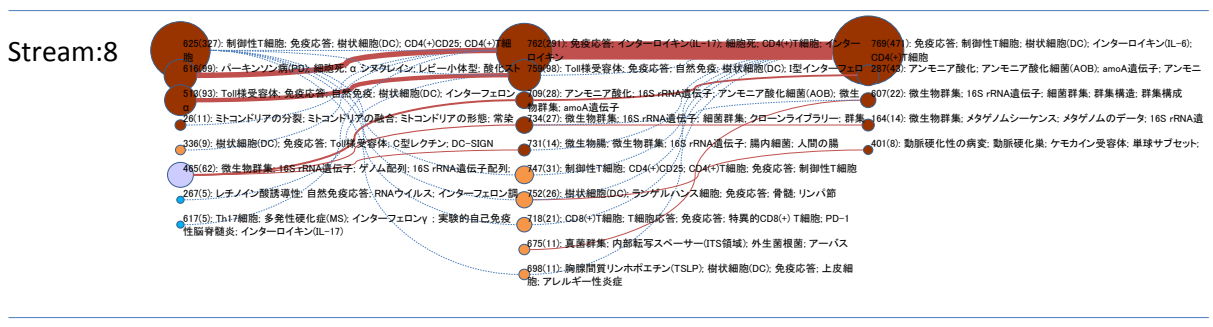
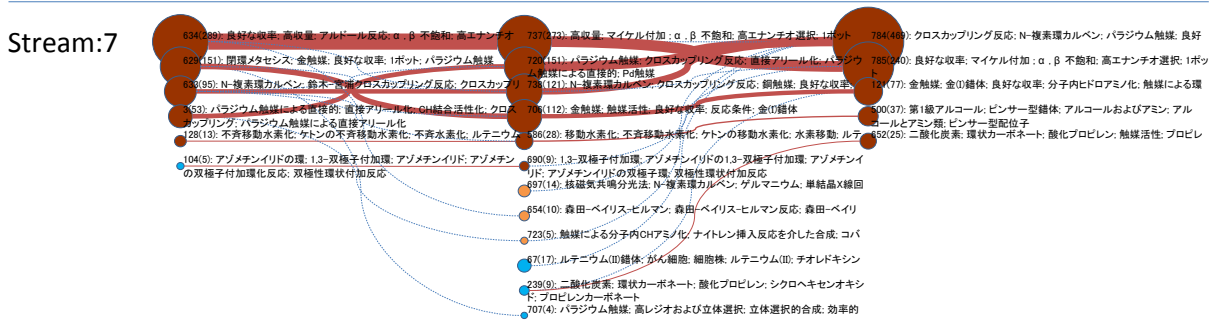
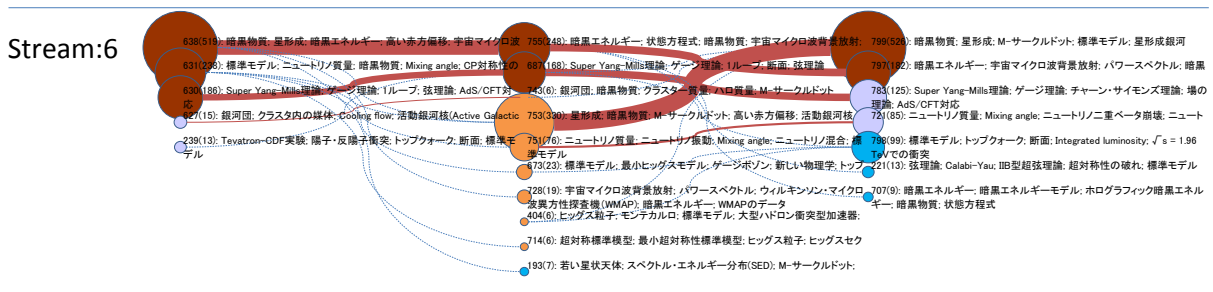
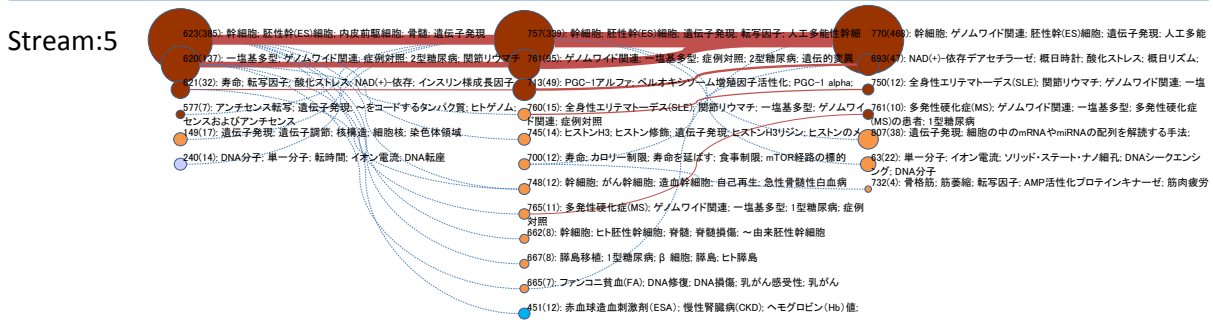


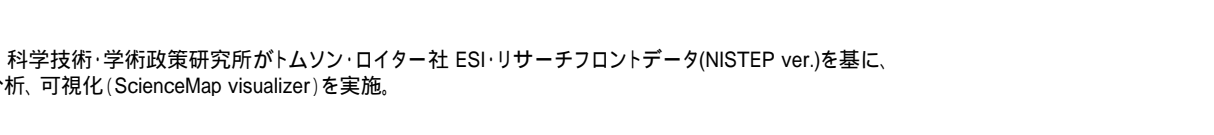
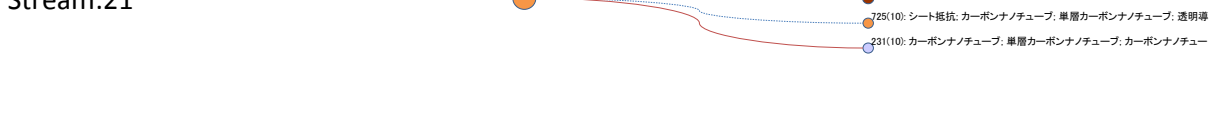
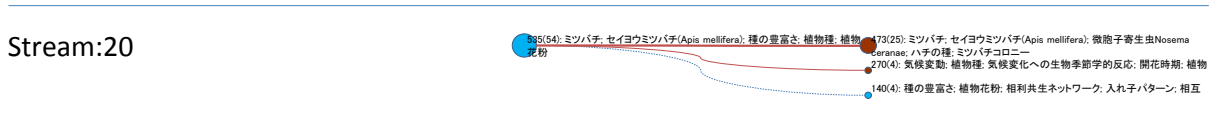
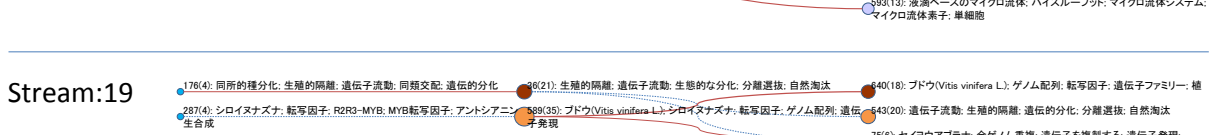
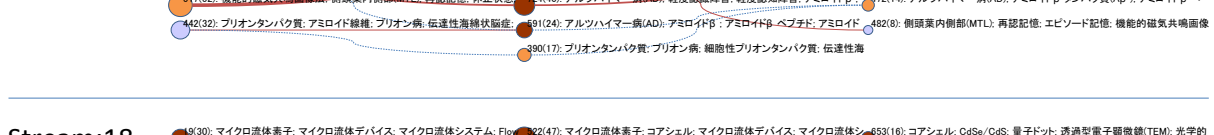
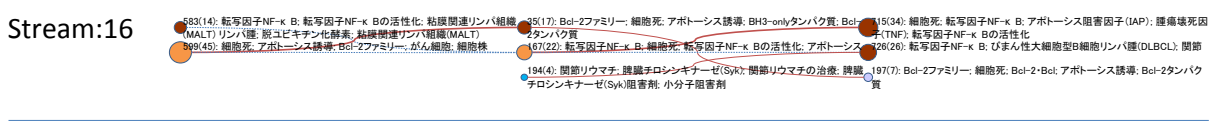
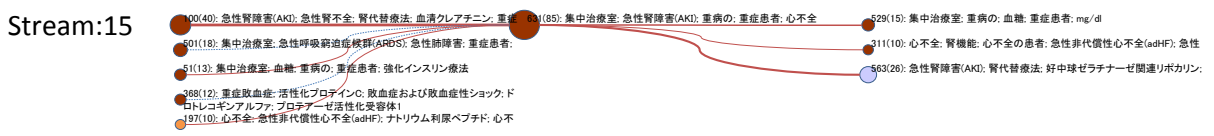
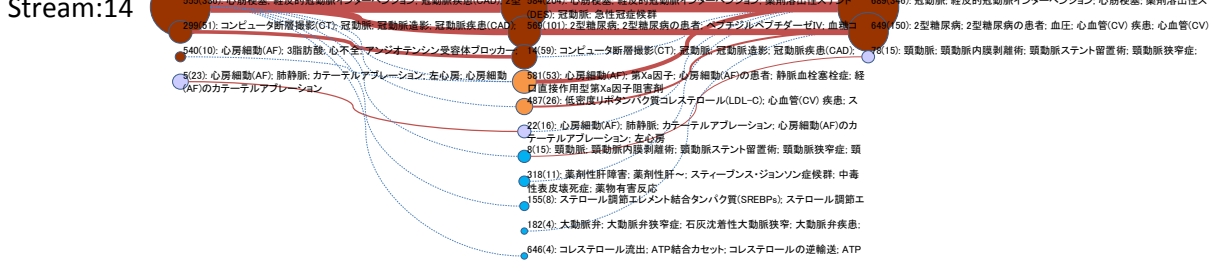
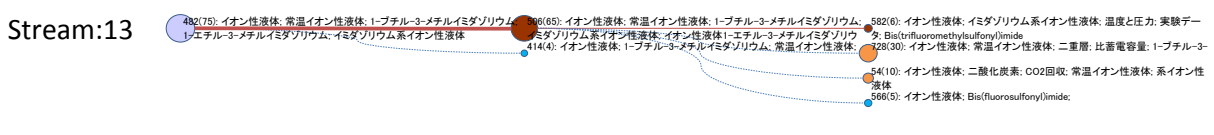
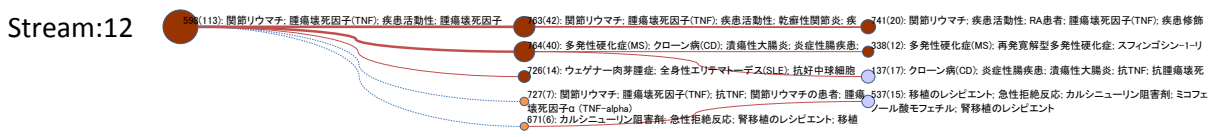
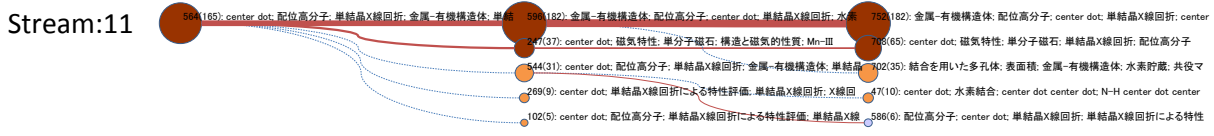
Stream:3



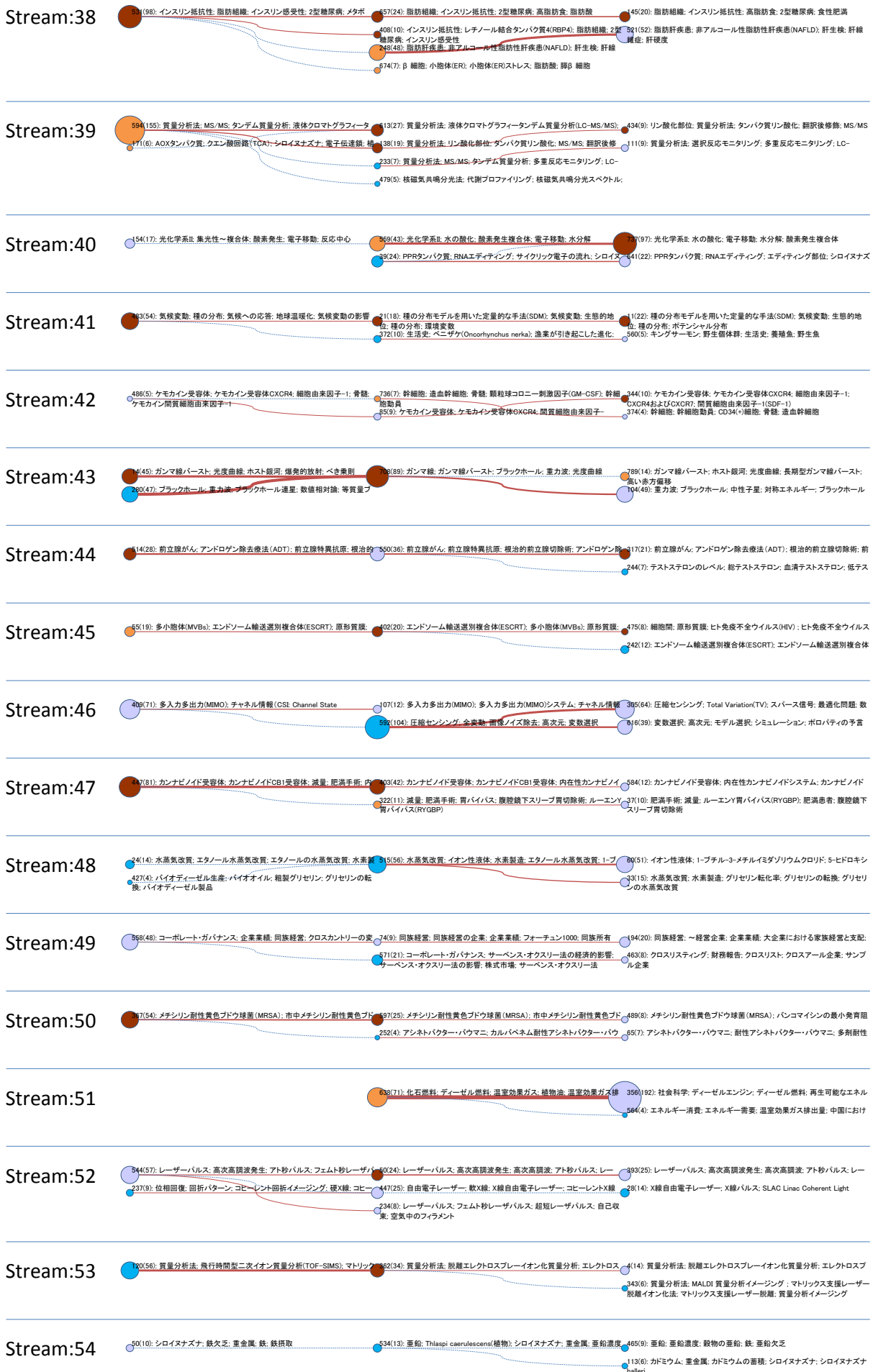
Stream:4



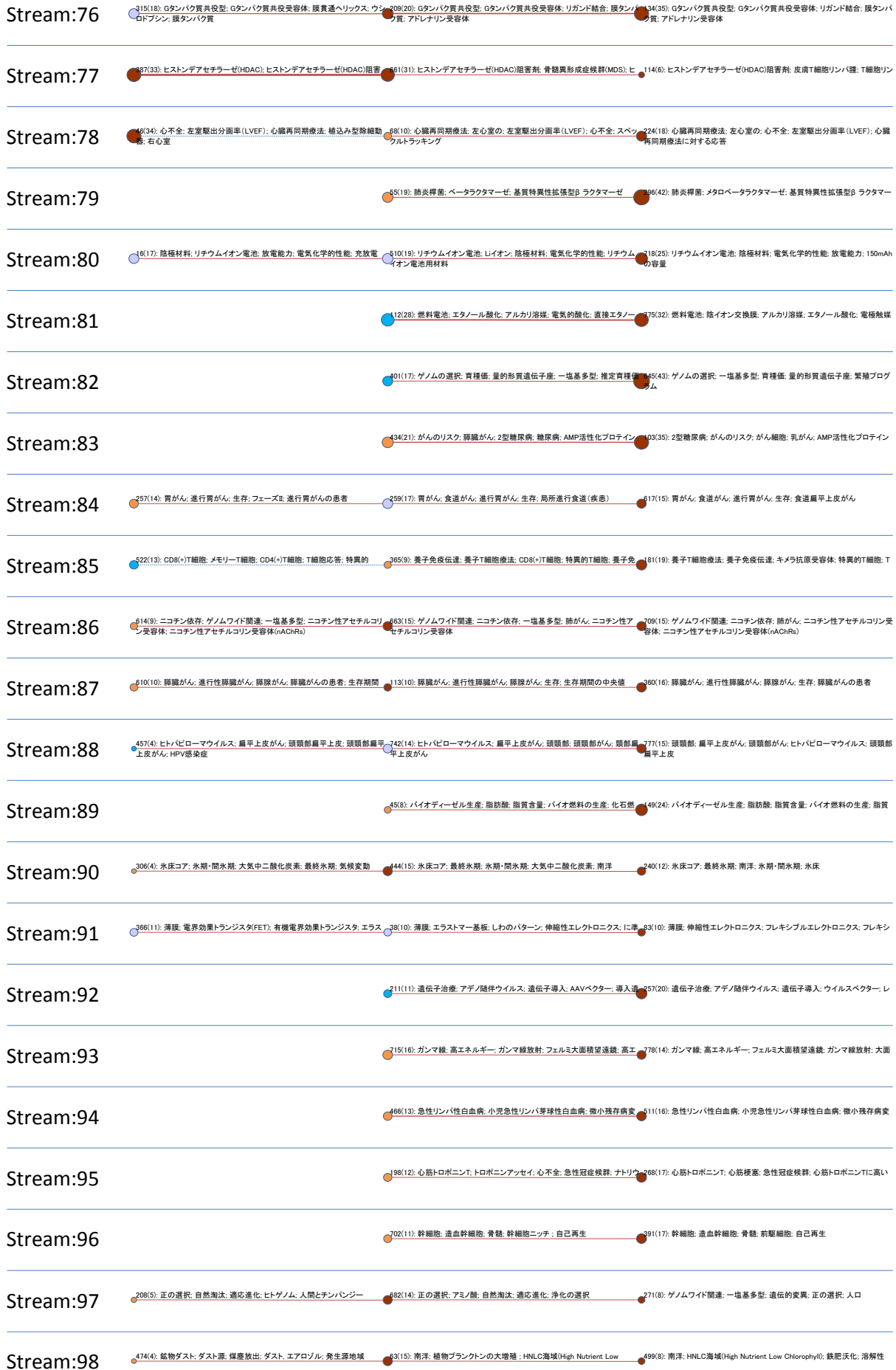




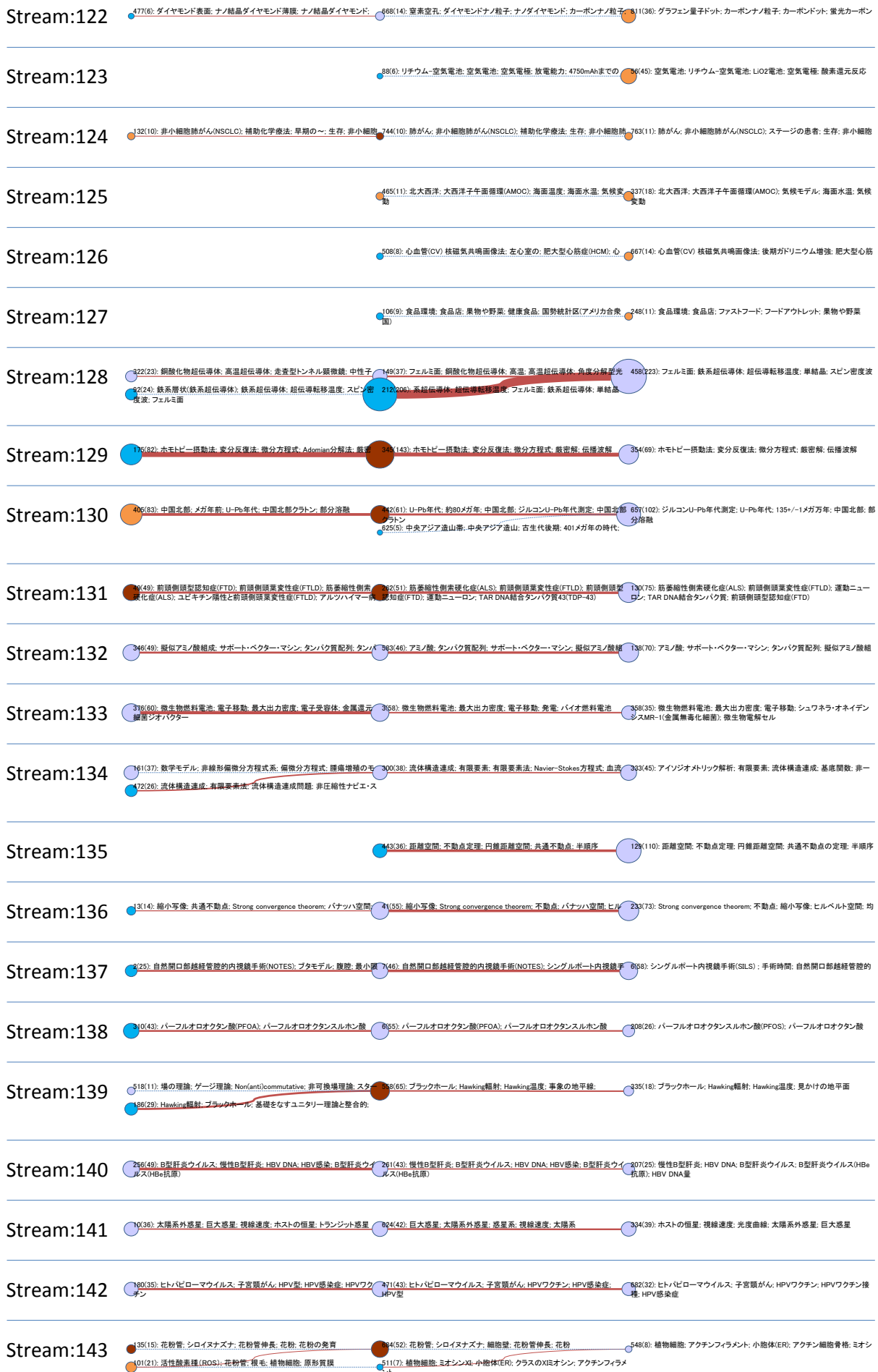












Stream:144

54(37): 熱伝達、熱伝導率、体積分率、熱伝達係数、ナノ流体の熱伝導率 698(59): 熱伝達、体積分率、熱伝導率、平均ヌセルト数、熱伝達係数

Stream:145

39(59): 意思決定、多基準決定、マルチクリテリア、多基準評価法、意思決定 1(35): 意思決定、多基準意思決定(Multiple-criteria decision analysis)、マルチ属性、建設プロジェクト、多目的最適化

Stream:146

4(44): 水素製造、H₂産生率、水素収率、発酵水素生産、水理学的滞留時間 240(33): 水素製造、水素収率、水素生成率、バイオ水素生産、発酵水素生産 272(15): 水素製造、水素収率、バイオ水素生産、水素生成率、暗発酵

Stream:147

62(14): 大動脈弁、経カテーテル大動脈弁留置術(TAVI)、大動脈弁置換術、産 12(73): 大動脈弁、経カテーテル大動脈弁留置術(TAVI)、重症大動脈弁狭窄症、大動脈弁置換術、重症大動脈弁狭窄症の患者

Stream:148

19(46): ポリ臭化ジフェニルエーテル(PBDE)、臭素化難燃剤、ポリ塩化ビフェニル 385(26): ポリ臭化ジフェニルエーテル(PBDE)、臭素化難燃剤、PBDE同族体、 63(12): ポリ臭化ジフェニルエーテル(PBDE)、臭素化難燃剤、PBDE同族体、

Stream:149

158(45): 双極性障害(BD)、前頭前皮質、セロトニン輸送体、機能的磁気共鳴画像 314(8): セロトニン輸送体、セロトニントランスポーター遺伝子、遺伝子環境の相互作用、短いアレル、生活上の出来事 490(22): 恐怖条件付け、恐怖消去、不安障害、条件付け恐怖、恐怖記憶 578(7): 恐怖消去、恐怖条件付け、条件付け恐怖の消去、不安障害、消去のト

Stream:150

19(39): 視力、加齢性黄斑変性症(AMD)、硝子体内注射、トリウムシロノアセ 164(24): 加齢性黄斑変性症(AMD)、熱: 硝子体内注射、硝子体内ペハンス 683(19): 視力、加齢性黄斑変性症(AMD)、黄斑浮腫、硝子体内注射、光干渉断層法、黄斑浮腫

Stream:151

398(32): 固体酸化物燃料電池、固体酸化物型燃料電池(SOFC)、アノード担持 539(30): 固体酸化物型燃料電池、固体酸化物燃料電池、電力密度、Omega 30(12): 中温度固体酸化物燃料電池、固体酸化物型燃料電池、Omega 575(5): 固体酸化物燃料電池、燃料電池、ガスタービン、SOFCシステム、内部

Stream:152

16(41): 侵襲性真菌感染症、抗真菌薬、侵襲性アスペルギルス症、抗真菌薬 266(22): 侵襲性真菌感染症、抗真菌薬、抗真菌療法、侵襲性アスペルギルス 400(16): 侵襲性真菌感染症、抗真菌薬、侵襲性カンジダ症、抗真菌療法、カン

Stream:153

42(11): 遺伝子組換え活性化型VII因子、遺伝子組換え第VIIa因子、脳内出血 99(24): 遺伝子組換え活性化型VII因子、脳内出血(OCH)、遺伝子組換え第VIIa 30(43): 外傷患者、大量輸血、濃縮赤血球、新鮮凍結血漿(FFP)、傷害重症度

Stream:154

105(26): 非ステロイド性抗炎症薬、シクロオキシゲナーゼ-2(COX-2)阻害剤 521(29): 非ステロイド性抗炎症薬、シクロオキシゲナーゼ-2(COX-2)阻害剤 209(12): 薬酸、大腸がん、がんのリスク、大腸がんのリスク、非ステロイド性抗 200(10): 薬酸、ホモシステイン濃度、危険因子、血漿中ホモシステイン、血漿総

Stream:155

379(4): ファジー集合、直感的ファジー集合、区間値ファジー集合、ファジー集合 888(21): 直感的ファジー集合、グループ意思決定、グループ意思決定の問題、 101(52): グループ意思決定、直感的ファジー集合、グループ意思決定の問題、 15: 直観論理ファジー ファジー集合、選好関係

Stream:156

668(22): 等量比、可調シンクロトロン真空紫外光、分子ビーム質量分析、低圧 898(54): 当量比、詳細な反応速度論モデル、点火遅れ、化学反応機構、動力

Stream:157

199(10): 自閉症スペクトラム障害(ASD)、自閉症児、自閉症スペクトラム障害 171(35): 自閉症スペクトラム障害(ASD)、自閉症児、特定不能の広汎性発達障 321(27): 自閉症スペクトラム障害(ASD)、自閉症児、自閉症スペクトラム障害 101(52): 自閉症スペクトラム障害(ASD)の小児、Autism Diagnostic Interview-Revised ASD)の小児、自閉症スペクトラム障害(ASD)の小児、社会的コミュニケーション ASD)の小児、自閉症スペクトラム障害(ASD)を持つ小児、早期介入

Stream:158

597(31): 気道炎症、吸入ステロイド、喘息コントロール、肺機能、作用性β₂ 116(4): 長時間作用性β₂刺激薬、ベータアゴニスト、吸入ステロイド、喘息コン 542(16): 重い喘息、気道炎症、喘息コントロール、呼吸中一酸化窒素濃度 423(12): 吸入ステロイド、喘息増悪、小児の喘息、ウイルス感染、肺機能 491(5): 気道炎症、腫瘍壊死因子α (TNF-alpha)、重い喘息、気道過敏性、アレ

Stream:159

33(32): G-四重鎖構造、G-四重鎖DNA、ヒトテロメア、テロメアDNA、G-四重鎖 463(25): 四重鎖構造、G-四重鎖DNA、ヒトテロメア、G-四重鎖の形成、ヒトテロ 5(10): G-四重鎖構造、G-四重鎖DNA、ヒトテロメアDNA、G-四重鎖の形成、G- 四重鎖DNA

Stream:160

248(17): チトクロームオキシダーゼI DNAバーコード、種同定、Cオキシダーゼ 49(24): DNAバーコード、シトクロムcオキシダーゼサブユニット、DNA配列、種 125(26): DNAバーコード、種同定、チトクロムc酸化酵素のサブユニットI DNA

Stream:161

6(23): 無線ネットワーク、デコードアンドフォワード、協調的ダイバーシティ、 208(20): デコードアンドフォワード、ネットワーク中継、伝送断の確率(Outage 625(18): ネットワーク中継、2ウェイレレー、中継システム、多入力多出力 ネットワーク中継、中継ノード probability)、フェージングチャネル、無線ネット (MIMO)中継、シミュレーション結果

Stream:162

189(8): Camassa-Holm方程式、Degasperis-Procesi方程式、初期データ 385(21): 水の波、Camassa-Holm方程式、Degasperis-Procesi方程式、初期 14(29): Camassa-Holm方程式、水の波、Degasperis-Procesi方程式、最初に良

Stream:163

308(30): 実験結果、スイッチング周波数、パルス幅変調(PWM)、～相電圧形 241(19): 実験結果、3相、パルス幅変調(PWM)、電圧変換インバータ、スイッチング 6(8): マルチレベルコンバータ、出力電圧、実験結果、マルチレベルインバー タ、シミュレーションと実験結果 ータ、クランプ3レベル中性点

Stream:164

106(18): マルチエージェントシステム、合意問題、センサーネットワーク、形成 15(17): マルチエージェントシステム、合意問題、合意アルゴリズム、時間的に 415(22): マルチエージェントシステム、合意問題、合意アルゴリズム、合意プロ





- Stream:211 250(14): カエルツボカビ菌(Batrachochytrium dendrobatidis); 両生類の減少; 658(13): カエルツボカビ菌(Batrachochytrium dendrobatidis); 両生類の減少;

- Stream:212 417(9): ニューラルネットワーク; 放射基底関数; 放射基底関数ニューラルネット; 319(18): ニューラルネットワーク; EEG信号; てんかん発作; 脳波

- Stream:213 91(7): 硫黄化合物; ジンベンゾチオオフェン(DBT); 4,6-ジメチルジンベンゾチオオフェン; 424(14): イオン性液体; 液液平衡; 無限希釈での活性係数; 三成分系; 三成分; 13(5): イオン性液体; 酸化脱硫; Dibenzothiophene(DBT) and 4,6-

- Stream:214 524(20): 熱帯熱マラリア原虫; マラリアワクチン; マラリア伝染; 血液ステージ; 36(6): 熱帯熱マラリア原虫; マラリア伝染; マラリア予防対策; 殺虫剤処理した

- Stream:215 484(15): 近似ベイズ計算; Nested Clade Phylogeographical; 71(10): 近似ベイズ計算; 遺伝子流動; 個体数; 集団遺伝学; 遺伝的データ

- Stream:216 122(11): テロメアの長さ; テロメアの短縮化; 短いテロメア; テロメラーゼ活性; 452(7): テロメアの長さ; テロメアの短縮化; 短いテロメア; 白血球テロメア長; 先; 262(7): テロメアの長さ; 白血球テロメア長; 短いテロメア; テロメアの短縮化; 短

- Stream:217 340(7): カタウレイボヤ; 脊索動物のボディプラン; 系統発生解析; 姉妹群; ナ; 237(9): カタウレイボヤ; 系統発生解析; 共通祖先; ボディプラン; 遺伝子ファ; 269(9): 系統発生解析; 姉妹群; 共通祖先; ネマトスライソギンチャクのー

- Stream:218 426(9): 基底系; 連結クラスター法; Correlation consistent基底; 第一原理計算; 464(9): 基底系; 霧わに相関; 霧わに相関した連結クラスター理論; Complete; 486(7): 霧わに相関; 基底系; 霧わに相関した連結クラスター理論; CCSD(T)-

- Stream:219 450(10): フレーム型原子吸光; 検出限界; フレーム型原子吸光分析; Cr(III); 固; 450(4): 固相抽出; クロム; フレーム型原子吸光分析; 水サンプル; トレースの; 126(11): フレーム型原子吸光; フレーム型原子吸光分析; 固相抽出; 検出限

- Stream:220 391(11): 胆汁酸塩; ベータラクタoglobリン; 人工腸液; 水エマルジョン中の油; 170(14): 水エマルジョン中の油; ベータラクタoglobリン; 脂質消化; 送達システ

- Stream:221 292(6): 地域気候モデル(RCM); 気候変動; 地表; 土壌水分; 地域気候シミュレーション; 481(5): 地域気候モデル(RCM); 気候変動; 将来気候; 土壌水分; 地表; 495(13): 地域気候モデル(RCM); 気候変動; 気温と降水量; 将来気候; 排出シナリオ

- Stream:222 168(13): 走査型トンネル顕微鏡; 自己組織化; 二次元; 水素結合; 液体固体界面; 330(6): 走査型トンネル顕微鏡; 二次元; 自己組織化; 液体固体界面; 液体固; 602(5): 走査型トンネル顕微鏡; 自己組織化; 二次元; 液体固体界面; 液体固体

- Stream:223 342(16): 代謝経路網; ゲノム規模の代謝モデル; 合成生物学; 制約ベースの; 161(7): 代謝経路網; ゲノム規模の代謝モデル; 合成生物学; 代謝モデル; 制約ベースのモデリング

- Stream:224 538(4): 基質特異性拡張型β ラクターゼ(ESBL); 大腸菌; 基質特異性拡張型β 578(12): プラスミド媒介性キノロン耐性; 大腸菌; 基質特異性拡張型β ラクタ; 546(7): 基質特異性拡張型β ラクターゼ(ESBL); 大腸菌; 大腸菌の単離株;

- Stream:225 525(4): メタノールとダイズ油; バイオディーゼルの生産; 大豆油のエステル交換反応; メタノール/油のモル比; 植物油のエステル交換反応; 11(12): バイオディーゼルの生産; モル比; メタノールと油; メタノール/油のモル比; 植物油; 128(7): バイオディーゼルの生産; メタノール/油モル比; モル比; メタノールと油; 油のモル比

- Stream:226 144(5): 社会技術システム; イノベーションシステム; マルチレベル; 技術的変; 230(5): イノベーションシステム; 社会技術; 技術革新システム; マルチレベル; 92(12): 社会技術; イノベーションシステム; 重層的視座; 社会技術的な変化; ト

- Stream:227 25(12): 四重鉛鉛; GaAsナノワイヤ; 分子線エピタキシー; 成長したナノワイヤ; 81(10): 四重鉛鉛; GaAsナノワイヤ; 成長したナノワイヤ; 分子線エピタキシー; 積層欠陥; 気相-液相-固相 (Vapor-Liquid-Solid: VLS) 成長法

- Stream:228 393(8): 受精能保存; 卵巣組織; 卵母細胞の凍結保存; 凍結融解する; 緩性凍; 631(14): 受精能保存; 卵巣組織; 卵母細胞の凍結保存; 卵巣機能; 早発卵巣

- Stream:229 60(15): m面酸化ガリウム; InGaN/GaN基板; 量子井戸; 発光ダイオード; 419(6): GaN基板; m面酸化ガリウム; レーザダイオード; 量子井戸; InGaN/GaN (LED)

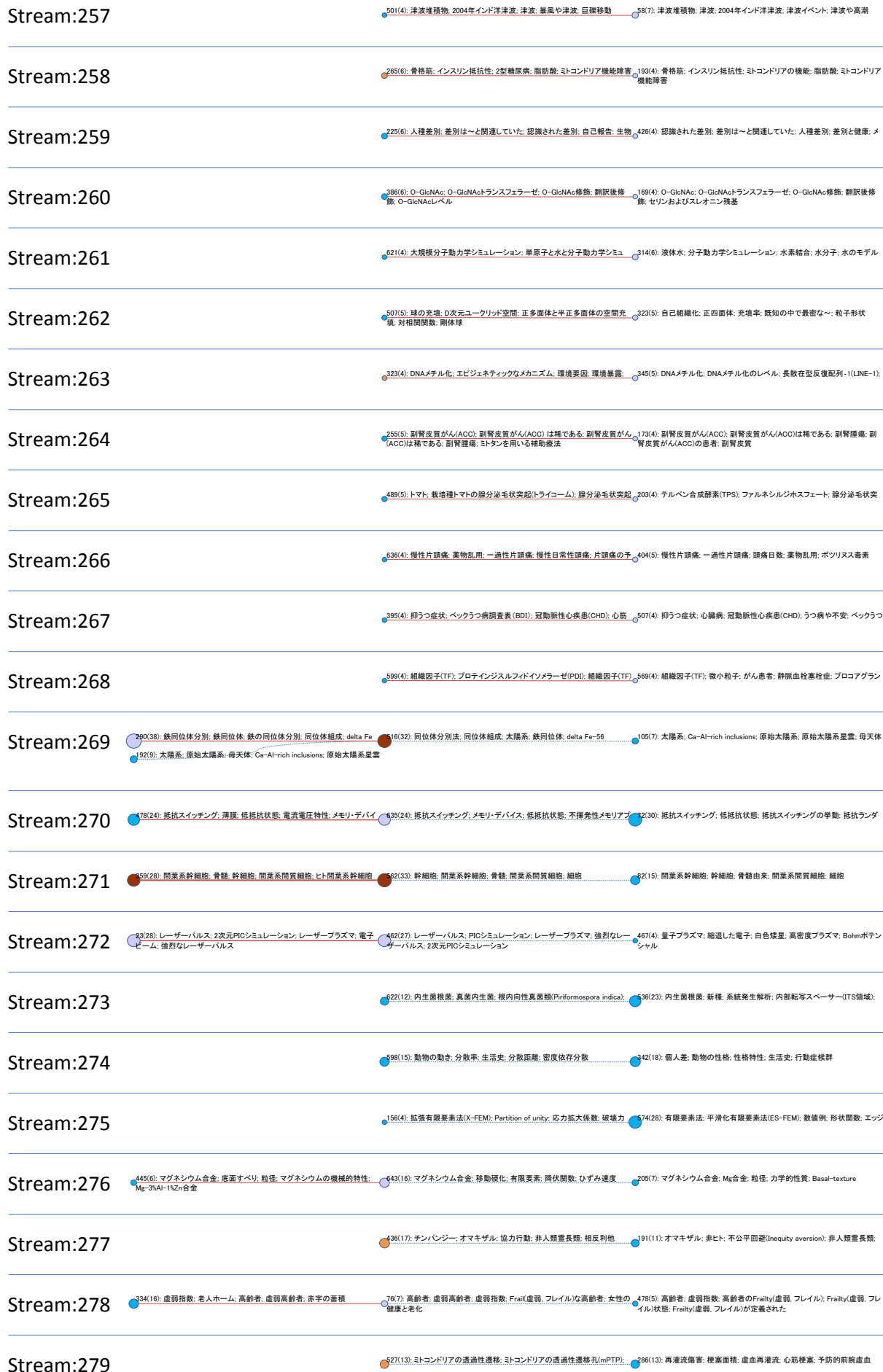
- Stream:230 57(8): ラフ集合; ラフ集合論; ファジーラフ集合理論; 情報システム; ラフ集合モ; 44(13): ラフ集合; ラフ集合論; ファジーラフ集合理論; Attribute reduction; 上

- Stream:231 140(14): 符号なしラプラス; 符号なしラプランアン行列; ラプランアンのスペクトル構造; 隣接行列; n頂の頂点とkのカットと連結グラフ; 107(7): 符号なしラプラス; 隣接行列; 符号なしラプランアン行列; ラプランアンのスペクトル半径; グラフのエネルギー

- Stream:232 67(7): 宇宙線; 高エネルギー宇宙線; 超高エネルギー宇宙線; ビエール・オー; 614(6): 宇宙線; 高エネルギー宇宙線; 超高エネルギー宇宙線; ビエール・オー; 45(7): 宇宙線; 超高エネルギー宇宙線; ビエール・オー; ジェット観測所; ガンマ線;

- Stream:233 348(7): 骨形成; Wntシグナル伝達; ベータカテニン; 骨量; Wntシグナル伝達経路; 39(13): 骨形成; 骨量; 骨ミネラル濃度; 骨吸収; Wntシグナル伝達経路

Stream:234	136(14): 乾燥接着: Pull-off force ; ヤモリの足: 接着力: ファン・デル・ワール 89(5): 乾燥接着: ヤモリの足: カーボン/チューブ; 垂直配向カーボン; 接着
Stream:235	216(5): 集中治療室: 重病の、混乱評価方法: 人工呼吸器: 重症患者 79(14): 集中治療室: 人工呼吸器: 重症患者; 重症疾患: 救命救急
Stream:236	732(14): ヒト胚性幹細胞: 幹細胞: β 細胞: インスリン産生細胞: 人工多能性幹 535(4): β 細胞: ベータ細胞塊: 膵β 細胞: インスリン産生細胞: ベータ細胞の
Stream:237	340(7): 境界値問題: 正値解: 境界条件: 積分境界条件の微分方程式: 不動点 355(11): 境界値問題: 正値解: 積分境界条件の微分方程式: 境界条件: 不動点定理
Stream:238	79(10): コピュラモデル: 適合度検定: レーダー雨量: 依存構造: コピュラベース 615(8): 依存構造: コピュラベース: コピュラモデル: 適合度: コピュラ
Stream:239	108(5): ワーキングメモリ: 視覚的短期記憶: 視覚ワーキングメモリ: 機能的磁 618(5): ワーキングメモリ: 視覚的短期記憶: 視覚ワーキングメモリ: 機能的磁 506(7): ワーキングメモリ: 視覚ワーキングメモリ: 視覚的短期記憶: 視覚野: 機
Stream:240	78(4): 全館禁煙: 禁煙条例: 間接喫煙: 副流煙への曝露: 公共の場 276(7): 全館禁煙: 間接喫煙: 禁煙条例: 禁煙法: 副流煙への曝露 77(6): 全館禁煙: 間接喫煙: 禁煙条例: 禁煙法: 副流煙への曝露
Stream:241	124(13): 燃料電池: 直流-直流変換器: ハイブリッド電気自動車: 電力系統: エ 168(4): 電気自動車: 燃料電池: フラグインハイブリッド: エネルギー貯蔵: 実験
Stream:242	235(11): 遺伝子の水平伝播: 二次細胞内共生: 真核生物の系統: 赤藻類: 系 385(5): 遺伝子の水平伝播: 系統発生解析: 真核生物の系統: 赤藻類: アピコ
Stream:243	328(7): リボソームサブユニット: タンパク質合成: リボソームタンパク質: 大腸 261(9): リボソームサブユニット: タンパク質合成: リボソームタンパク質: 伸長
Stream:244	623(4): フラグメントにもとづく創薬(FBDD): 創薬: ~にもとづく薬剤設計: ハイス 676(11): 創薬: フラグメントにもとづく創薬(FBDD): ~にもとづく薬剤設計: 小分
Stream:245	428(6): べき乗則: ランダムウォーク: レヴィーフライト: 人間工学: レヴィー 613(9): ランダムウォーク: 移動パターン: 人間の流動性: レヴィーウォーク: ペ
Stream:246	669(4): 強直性脊椎炎: 強直性脊椎炎の患者: 軸性脊椎関節炎(Axial SpA) 106(11): 強直性脊椎炎: 強直性脊椎炎の患者: 疾患活動性: 背痛: 軸性脊椎
Stream:247	523(10): 進化分子工学: タンパク質設計: 活性部位: アミノ酸: コンピュータによ 610(5): タンパク質設計: コンピュータによる設計: 活性部位: 進化分子工学: タ
Stream:248	520(9): DNAメチル化: 若年期: エピジェネティックなメカニズム: 遺伝子発現: そ 611(6): DNAメチル化: エピジェネティックなメカニズム: 妊娠: 若年期: 遺伝子の後の人生 発現
Stream:249	655(6): small regulatory RNA: 大腸菌: small RNA: RNAシヤベロンHfq: 遺伝子 293(9): small regulatory RNA: 大腸菌: RNAシヤベロンHfq: small RNA: RNA結
Stream:250	356(4): 橋込み型除細動器: 心室拍(VT): 橋込み型除細動器の療法: 心室 529(10): 橋込み型除細動器: 心室拍(VT): 橋込み型除細動器の療法: 橋込み型除細動器ショック: 心室拍(VT)のアブレーション
Stream:251	595(10): 前立腺がん: セレンは重要な~: 前立腺がん予防試験(PCPT): 前立 580(4): セレンは重要な~: 前立腺がん: がん予防: 前立腺がんのリスク: セレ
Stream:252	114(6): Nucleus-Independent Chemical Shifts(NICS): π 電子の非局在化: 電 611(4): Nucleus-Independent Chemical Shifts(NICS): π 電子: NICS(nucleus-independent chemica 291(4): 拡張ボルフィリン: π 電子: メピス芳香族: メピス芳香族性: メピウスのトポロジー
Stream:253	158(6): 直腸がん: 局所進行直腸がんの患者: 全直腸関膜切除術: 局所再発: 238(5): 直腸がん: 全直腸関膜切除術: 局所進行直腸がん: 局所再発: 直腸が
Stream:254	277(6): 有機発光ダイオード: 有機発光: 正孔注入: ホール輸送: インジウムス 175(6): 有機発光ダイオード: 有機発光: 正孔注入: 仕事関数: 正孔輸送層不酸化物
Stream:255	142(7): 内皮前駆細胞: 血管内皮前駆細胞(EPC): 内皮細胞: 骨髄由来: 末梢 282(5): 血管内皮前駆細胞(EPC): 内皮前駆細胞: 内皮細胞: 骨髄: 血管内皮
Stream:256	302(6): 上皮Na ⁺ チャンネル(ENaC): 上皮性ナトリウムチャンネル: 酸感受性イオ 460(5): 酸感受性イオンチャンネル: 酸感受性イオン: P2X受容体: 上皮Na ⁺ チャネル: 酸感受性イオンチャンネル: P2X受容体



Stream:280	181(8): 共鳴擾動磁場 (resonant magnetic perturbation, RMP); エッジ局在モード; I型エッジ局在モード; 力線; プラズマ対向機器	85(18): 共鳴擾動磁場 (resonant magnetic perturbation, RMP); エッジ局在モード; I型エッジ局在モード; Hモードプラズマ; 力線	
Stream:281	127(10): 環境発電; 圧電式環境発電; 振動発電装置; 圧電式電力発生; 電気	222(16): 環境発電; エネルギーハーベスタ; 振動発電装置; 圧電式電力発生;	
Stream:282	533(13): 高圧; 第一原理計算; 第一原理; 高圧相; 密度汎関数理論	448(13): 高圧; 第一原理計算; 粒子群最適化(PSO); 高圧相; 超硬材料	
Stream:283	351(5): 免疫再構築症候群; 結核に関連する免疫再構築症候群(TB-IRIS); 抗	302(19): 結核; ヒト結核菌; MTB/RIF; XpertのMTB/RIF; 塗抹標本陰性	
Stream:284	94(10): 自己免疫性膵炎(AIP); 免疫グロブリン(IgG4)の陽性形質細胞; 免疫グロブリン(IgG4)の関連; 陽性の形質細胞; 血清免疫グロブリン(IgG4)の	76(14): 自己免疫性膵炎(AIP); 免疫グロブリン(IgG4)の関連; 免疫グロブリン(IgG4)の陽性形質細胞; 血清免疫グロブリン(IgG4)の; 形質細胞	
Stream:285	389(6): チェコ共和国; 外来種; 外来植物; 外来植物種; 在来種	473(10): 外来種; 外来植物; 在来種; チェコ共和国; 植物種	487(4): 外来種; 外来植物; 在来種; 植物種; 植物の侵入
Stream:286	203(10): 超音波イメージング; 超音波顕微鏡; 超音波トモグラフィ; 小動物; 高空間分解能	628(4): 超音波イメージング; マルチスペクトル超音波トモグラフィ(MSOT); 空間分解能; 光学的画像; 小動物	
Stream:287	377(5): 植物由来のワクチン; 植物細胞; 植物由来; 植物; 分子農業	398(7): 組換えタンパク質; モノクローナル抗体; 免疫系; 植物の特定の; 治療	
Stream:288	178(6): 高次テンソル; 並列因子分析; PARAFACモデル; テンソル分解; Three-way arrays	38(6): Low-rank; 低ランクのテンソル; テンソル分解; ~階テンソル; 高次特異値分解	
Stream:289		158(5): 分子機械; ホスト-ゲスト化学; 自己組織化; クラウンエーテル;	
Stream:290		812(48): 六方晶窒化ホウ素; 第一原理計算; バンドギャップ; 密度汎関数理論	
Stream:291		338(35): パーキンソン病(PD); α シヌクレイン; ロイシンリッチリピードキナーゼ	
Stream:292		202(27): LaAlO ₃ /SrTiO ₃ ; 薄膜; SrTiO ₃ のインタフェース; 二次元電子ガス; ニ	
Stream:293		127(26): 土壌水分; 地表土壌水分; リモートセンシング; Soil Moisture and	
Stream:294		314(24): エンタングルメントスペクトル; 分数量子ホール; 基底状態; トポロジカ	
Stream:295		688(23): スピン流; スピン流; スピンホール効果; 逆スピンホール効果; マグノン	
Stream:296		804(22): 比蓄電容量; 定電流充電/放電; 電極材料; 高比容量; 電気化学的性	
Stream:297		189(20): セロトニン輸送体; 遺伝子環境; 遺伝子環境の相互作用; セロトニン	
Stream:298		303(20): 標準モデル; ゲージ理論; 非粒子物理学; 電弱対称性の破れ	
Stream:299		791(19): 可視光; 光触媒活性; 可視光照射; 水分解; 水素製造	
Stream:300		659(18): 身体活動; 建造環境; 緑地; 自己報告; 横断的	
Stream:301		644(17): 微分方程式; 境界値問題; Impulsive differential equations; 周期解; Second order impulsive	
Stream:302		688(16): 現代人; 更新世中期; 人類の進化; ホモ・サピエンス(Homo sapiens);	

Stream:303	691(16): 海水、北極海、北極海水、表層結氷、海水面積
Stream:304	390(15): 生態系サービス、エコ(環境)システムサービスのための支払い(VPES);
Stream:305	437(15): グリッド接続、分散型電源、制御戦略、シミュレーションと実験結果、制御方式
Stream:306	748(15): イオントラップ、量子シミュレーション、量子シミュレータ、量子情報処理
Stream:307	765(15): 脐帯血、脐帯血移植、幹細胞、造血幹細胞移植、移植片対宿主病(GVHD)
Stream:308	800(14): ゲノム配列、全ゲノム塩基配列、ドラフト・ゲノム配列、基準株、~を
Stream:309	297(14): 氷河期、北大西洋、木の年輪、気候変動、海面水温
Stream:310	178(13): 気候変動、土壌有機炭素、土壌有機物、有機物、生育期
Stream:311	444(13): 種の分布、種の分布モデルを用いた定量的な手法(SDM)、気候変動、動的生態モデル、プロセスベース
Stream:312	751(13): リチウムイオン電池、リチウムイオンのためのアノード材料、リチウム
Stream:313	91(12): 開環重合、RACラクトド、L-ラクチドの重合、分子量、開環重合開始剤
Stream:314	133(12): リチウムイオン電池、陽極材料、速度性能、電気化学的性能、リチウム
Stream:315	147(11): 囊胞性線維症(CF)、線維菌、囊胞性線維症(CF)の患者、囊胞性線維症(CF)の肺、培養に依存しない
Stream:316	489(11): ホジキンリンパ腫、B細胞リンパ腫、陽電子放出断層撮影(PET);
Stream:317	806(11): 酸化グラフェン、グラフェン酸化物、酸化グラフェンの還元、グラフェン
Stream:318	647(10): 線維芽細胞増殖因子21(FGF21)、ペルオキシソーム増殖因子活性化
Stream:319	713(10): ブロックコポリマー、P3HT(有機分子エレクトロニクス材料)、ジブロック
Stream:320	735(10): ペルオキシダーゼ(HRP)、電気化学免疫センサー、電気化学免疫測定
Stream:321	289(10): 維管束鞘(BS)細胞、光合成経路、トウモロコシ(Zea mays L.)、葉肉細胞
Stream:322	532(10): 制御性T細胞、臓器移植、免疫応答、ドナー特異的、移植のレシピアエン
Stream:323	83(9): 細胞死、プログラム細胞死、植物におけるオートファジー、シロイヌナズ
Stream:324	518(9): mRNA、遺伝子発現、HIV-1の複製、感染した細胞、HIV-1感染
Stream:325	18(9): 気候変動、Thermal tolerance、地球温暖化、気候変動への応答、

Stream:326	284(9): スフィンゴシン-1-リン酸(S1P); スフィンゴシン-1-リン酸(S1P)受容体; スフィンゴシンキナーゼ; Gタンパク質共役型; 生理活性脂質
Stream:327	411(9): エルニーニョ現象; エルニーニョ南方振動; 海面温度; 海面水温; 熱帯
Stream:328	461(9): 小分子阻害剤; BETファミリー; BETファミリータンパク質BRD4; タンパク質相互作用(PPI); 遺伝子発現
Stream:329	585(9): 気候変動; 道走補助; 気候の変動; 気候変動への応答; 樹種
Stream:330	746(9): がん細胞; ワールブルク効果; 好氣的解糖; ビルビン酸キナーゼ; 腫瘍細胞
Stream:331	793(9): 上皮間葉移行; 膵臓がん; 間葉移行; がん細胞; がん幹細胞
Stream:332	428(8): パラジウム触媒; 良好な収率; 触媒反応; 銀トリフラート触媒による反応; 触媒によるタンデム反応
Stream:333	430(8): ナンヨウアブラギリ(<i>Jatropha curcas</i>); バイオディーゼル生産; 酸化安
Stream:334	540(8): 翻訳後修飾; ヒストンデアセチラーゼ(HDAC); リジンアセチル化; タンパク質アセチル化; リジン残基
Stream:335	703(8): 自己組織化; ホスト-ゲスト化学; center dot; 核磁気共鳴分光法; 配位
Stream:336	790(8): コレステロール流出; miRNA; コレステロール恒常性; 遺伝子発現; 高密度リポタンパク質(HDL)
Stream:337	802(7): miRNA; 遺伝子発現; 非翻訳RNA(ncRNA); C型肝炎ウイルス; miRNA
Stream:338	22(7): レーザーパルス; 磁化ダイナミクス; 磁気光学カー効果; 円偏光; レーザー誘起
Stream:339	27(7): 断層帯; サンアンドレアス断層; 断層岩; 断層粘土; 流体圧力
Stream:340	88(7): 光トラッピング; 表面プラズモン; Optical forces; 光ピンセット; 表面プラズモン共鳴
Stream:341	171(7): 気候モデル; 気候変動; 全球気候モデル; 全球気候モデル; 気候予測
Stream:342	212(7): 脊髄性筋萎縮症(SMA); 運動ニューロン; 生存運動ニューロン(SMN1); 脊髄性筋萎縮症(SMA)タンパク質; アデノ随伴ウイルス
Stream:343	298(7): ドメイン・ウォール; 強誘電体のドメイン壁; 薄膜; 圧電応答顕微鏡; ポ
Stream:344	520(7): 核酸; クリックケミストリー; クリック反応; アジ化アルキン; 構成要素
Stream:345	719(7): びまん性大細胞型B細胞リンパ腫(DLBCL); 大細胞型B細胞リンパ腫;
Stream:346	723(7): 二酸化炭素の削減; CO2光触媒還元; 可視光; 二酸化炭素; 光触媒活
Stream:347	792(7): グラフェン電界効果トランジスタ; グラフェントランジスタ; グラフェンペー
Stream:348	794(7): リチウムイオン電池; 陽極材料; リチウムイオン電池用材料; リチウム

Stream:349	818(7): メンボールスリカ; コアシェル; シリカシェル; 中空球; ドラッグデリバ
Stream:350	378(6): 太陽電池; ハイブリッド太陽電池; 電力変換効率; P3HT(有機分子エレ
Stream:351	384(6): ヒストン修飾; 遺伝子発現; キロシヨウジョウバエ; 転写因子; ゲノム
Stream:352	514(6): ゲノムワイド関連; 一塩基多型; ゲノムワイド関連解析; 複雑な形質; 遺
Stream:353	596(6): 陸上生態系モデル; 窒素堆積; 生態系モデル; 動的な土地生態系モデル(DLEM)ベースの; 動的な土地生態系モデル(DLEM); 陸上生態系
Stream:354	243(5): プラシノステロイド(BRs)シグナル伝達; プラシノステロイド(BRs); 転写
Stream:355	716(5): 葉の発育; 葉形; 複製; CUC遺伝子; シロイヌナズナ
Stream:356	287(5): シロイヌナズナ; 自然変異; 表現型変異; ゲノムワイド関連; 遺伝的変
Stream:357	544(5): 三成分反応; 1ポット; 多成分反応; 1ポット; 3成分の合成; 三成分合成
Stream:358	545(5): 大腸がん; BRAF V600E; MEK阻害剤; BRAF変異; 上皮成長因子受容
Stream:359	581(5): 前立腺がん; 前立腺特異抗原; 前立腺がんのスクリーニング; 積極的監視; 低リスクの前立腺
Stream:360	697(5): 統合失調症1(DISC1); ニューレグリン1(NRG1); 統合失調症の遺伝子;
Stream:361	736(5): ヘアリーセル白血病(HCL); BRAF V600E; BRAF V600Eの変異; BRAF変異; ヘアリーセル白血病(HCL)変異
Stream:362	747(5): 卵細胞; 卵巣がん; 体細胞変異; 卵巣卵細胞; クロマチン再構築
Stream:363	760(5): 若年性特発性関節炎; 腫瘍壊死因子(TNF); 若年性特発性関節炎の小児; 若年性特発性関節炎の患者; 関節リウマチ
Stream:364	819(5): マトリックス支援レーザー脱離イオン化法; グラフェン酸化物; 固相抽
Stream:365	21(4): 内視鏡的粘膜下層剥離術(ESD); 一括切除; 内視鏡的粘膜切除術; 側方発育型腫瘍; 大腸がん
Stream:366	152(4): 量子系; 定常状態; 開放量子; エンタングル状態; マスター方程式
Stream:367	154(4): 不整脈源性右室心筋症(ARVC); 不整脈源性右室; 不整脈源性右室心筋症(ARVC)の患者; 心臓突然死; 心室性不整脈(VA)
Stream:368	281(4): 第一原理計算; Graphyneの機械的性質; 二次元炭素同素体; 炭素同
Stream:369	371(4): mRNAの分解; 翻訳抑制; mRNA媒介遺伝子サイレンシング; 標的mRNA; 遺伝子発現
Stream:370	376(4): ナトリウム利尿ペプチド; 心不全; B型ナトリウム利尿ペプチド(BNP); N
Stream:371	625(4): アミロイド線種; アミロイドβ; アルツハイマー病(AD); ベータシート;

Stream:372	655(4): イオン性液体; 系イオン性液体; 1-ブチル-3-メチルイミダゾリウム; 有
Stream:373	666(4): ビンサー型錯体; ビンサー型配位子; バラジウム触媒; Pd(II); 含有錯
Stream:374	706(4): リチウムイオン電池; カソード材料; 放電能力; 高充放電能力; 充放電
Stream:375	745(4): 血圧; ゲノムワイド関連; 一塩基多型; 遺伝的変異; 本態性高血圧
Stream:376	749(4): DNAメチル化; ゲノムワイド; バイサルファイトシーケンシング; DNAメチ
Stream:377	759(4): がん細胞; ヒトのがん; 肺がん; 全ゲノムエキソーム配列決定; がんゲノ
Stream:378	773(4): 光格子; ハニカム格子; トポロジカル絶縁体; ティラック・フェルミオン;
Stream:379	774(4): グラフェンナノリボン; 熱伝導; グラフェンの特性; 非平衡グリーン関数;
Stream:380	780(4): 比蓄電容量; エネルギー貯蔵; エネルギー密度; 比表面積; 電気化学 キャパシタ
Stream:381	781(4): シロジウム(III); ジアノ化合物; ロジウム; カルベン挿入; 遷移金属
Stream:382	820(4): メタノール酸化; 燃料電池; サイクリックポルタンメトリーによる調査; 電 極触媒活性; X線回折; 透過型電子顕微鏡
Stream:383	282(54): 行列方程式; 数値例; 最小二乗; 反復アルゴリズム; パラメータ推定
Stream:384	387(40): 腰痛; 頸痛; 介入性疼痛管理; 硬膜外ステロイド注射; 慢性腰痛
Stream:385	389(35): 独創性/価値; 実用的な意味合い; 競争優位性; 製造業; ケース
Stream:386	397(35): 自己推進; 自走式粒子; 集団運動; 数学的運動論; 活性粒子
Stream:387	473(29): 平成23年(2011年)東北地方太平洋沖地震; 平成23年(2011年)東北
Stream:388	450(26): 差分方程式; Max-Type Difference Equation; 正整数; 実数; 初期値x
Stream:389	109(25): 有機ランキンサイクル; 作動流体; 廃熱; 熱源; 廃熱利用
Stream:390	28(24): 合成カンナビノイド; 合成麻薬; リーガルハイ(脱法ドラッグ); JWH-018 およびJWHt質量分析法
Stream:391	581(23): FPGA(Field-Programmable Gate Array); 実験結果; FPGAベース; 制
Stream:392	182(22): 定常流型の; フローリアクター; 滞留時間; フローケミストリー; 連続フ ロー条件
Stream:393	49(21): 政策移転; 事業改善地区; Policy mobilities; 都市政策; Policy
Stream:394	76(21): ガウス干渉チャネル; 干渉チャネル; Interference Channel; 多入力 多出力(MIMO)インターフェイス; チャネル情報(CSI: Cha

Stream:395	312(21): 実験結果: Structured light; 時系列; 非線形時系列; 長距離依存性
Stream:396	672(21): 2009年4月6日ラウライ地震; 正断層; 本震; 中央アベニ; 地震振動
Stream:397	1(20): 経済成長; 長期; エネルギー消費; エネルギー消費と経済成長; グレン
Stream:398	357(20): 貿易の自由化; 企業レベル; 労働市場; 企業の輸出; 会社の異質性
Stream:399	684(20): 速い応答時間; 接触時間; 吸着容量; 検出限界; 水溶液
Stream:400	23(19): 身体活動; 座って行う行為; 中・高強度の運動(MVPA); 費やした時間;
Stream:401	87(19): 閉ループシステムにおける信号; 非線形システム; 出力フィードバック
Stream:402	200(19): マシンスケジューリング問題; ジョブ処理時間; Minimize the total
Stream:403	146(17): 自己推進; 磁場; 低レイノルズ数; 触媒ナノモーター; 回転磁界
Stream:404	264(17): 潜熱蓄熱材; 相変化材料(Phase Change Material; PCM); 相変化; 熱
Stream:405	503(17): 包絡分析法(DEA: Data Envelopment Analysis); 望ましくない出力
Stream:406	577(17): 発光ダイオード(LED); InGaN/GaN; ~にもとづ発光ダイオード;
Stream:407	24(16): マグネシウム合金; 耐食性; 模倣体液; 腐食速度; 腐食挙動
Stream:408	98(16): 土地の収奪; エコ環境システムサービスのための支払い(PES); 生態
Stream:409	247(16): 光学的性質; セルロースナノ結晶; ミクロフィブリル化セルロース(MFC); ナノレベルで形成されたセルロース; セルロースナノファイバ
Stream:410	395(16): 高速液体クロマトグラフィ; 充填カラム; シェル粒子; ポーラス粒子; 移
Stream:411	557(16): 低分子干渉RNA(iRNA)の輸送; プロタンパク質転換酵素サブチリシノゲキシン 9(PCSK9); 低分子干渉RNA(iRNA); 低密度リポタン
Stream:412	43(15): 原子力発電所; セシウム134とセシウム137; 福島第一原子力発電所;
Stream:413	249(15): 好中球細胞外トラップ; 自然免疫; NETの形成; 免疫応答; 全身性エリテマトーデス(SLE)
Stream:414	453(15): バンドパスフィルタ(BPF); 伝達帯; デュアルバンド帯域通過フィルタ;
Stream:415	591(15): 中石器時代; 南アフリカ; 現代人; 更新世後記; マラウイ湖
Stream:416	595(15): 拡散テンソル画像(DTI); 白質; 異方性比率(FA); 白質路; 上縦束
Stream:417	353(14): 伝統的ないじめ; ネットいじめ; いじめやネットいじめ; 学校の学生; いじめの形

Stream:418	418(14): 分数次カオス系; 分数次システム; 分数次システムの安定性; スライ
Stream:419	423(14): マイクロ流体素子; Lab-on-a-chip(LOC)デバイス; マイクロ流体デバイス; マイクロ流体システム; 表面弾性波
Stream:420	578(14): 三畳紀後期; 大量絶滅; 三畳紀/ジュラ紀境界; 化石記録; 獣脚類恐
Stream:421	599(14): 炭酸脱水酵素(CA); 亜鉛酵素炭酸脱水酵素; 炭酸脱水酵素(CA)阻害剤; ヒト炭酸脱水酵素(hCAIII); 炭酸脱水酵素(CA)III
Stream:422	348(13): ぜん動流; 長波長; 低レイノルズ数; 長波長; 低レイノルズ数の近似;
Stream:423	364(13): 共生細菌ボルバキア感染; 共生細菌ボルバキア株; 細胞質不和合性; ネットアインマカ(Aedes aegypti); 共生細菌ボルバキアに感染
Stream:424	551(13): 大腸菌の産出; 大腸菌を産生する志賀毒素; 大腸菌O104:H4; 志賀
Stream:425	684(13): ポイント・オブ・ケア検査; 低コスト; マイクロ流体デバイス; ペーパー
Stream:426	795(13): 標準モデル; 新しい物理学; Search for the rare decays B →; 分岐
Stream:427	9(12): ビスフェノールA; 内分泌かく乱化学物質; BPA暴露; ビスフェノールAへ
Stream:428	51(12): 有意性検定; 帰無仮説; 心理科学; 帰無仮説の意義; 出版バイアス
Stream:429	98(12): 高頻度データ; 微細構造ノイズ; 実現ポラリティティ; マーケット; マイ
Stream:430	324(12): マインドフルネスにもとづく認知療法(MBCT); マインドフルネス瞑想;
Stream:431	351(12): Ia型超新星; 光度曲線; コア崩壊; M-サークルドット; 超新星
Stream:432	377(12): ボウル形の; 多環式芳香族炭化水素; カーボンナノチューブ; 顕微鏡
Stream:433	403(12): 東太平洋赤道域; 赤道東部; 有光層; 地表水; 生物源シリカ
Stream:434	456(12): 準地衡流渦位方程式; 準地衡流方程式; 分数的ラブランアン; 熱核評価; 大域的適切性
Stream:435	506(12): 新生児死亡; 妊産婦死亡; ミレニアム開発目標; 出生; 出生1,000人あ
Stream:436	573(12): オイラー数と多項式; q-Euler数; オイラー多項式; フェルミq進積分; ゼータ関数
Stream:437	94(11): Web of Science; 被引用数; Hirsch index(h-index); インパクトファク
Stream:438	216(11): 一過性受容体電位(TRP); 一過性受容体電位(TRP); 感覚ニューロン; TRPチャネル; イオンチャネル
Stream:439	294(11): ポラリトン凝縮体; 励起子ポラリトン; ホース・アインシュタイン凝縮; 半
Stream:440	406(11): メラトニンの効果; メラトニンの治療; 酸化ストレス; 結果は、メラトニンが〜であることを示す; フリーラジカル

Stream:441	5(10): チクングニヤウイルス; ヒトスジシマカ(Aedes albopictus); インド洋;
Stream:442	34(10): E型肝炎ウイルス; HEV感染; 抗HEV; HEV RNA; 急性肝炎
Stream:443	196(10): 妊娠初期のスクリーニング; 週の妊娠; 胎児の首のむくみ(NT); 母体
Stream:444	246(10): 双極性障害(BD); 酸化ストレス; 大うつ病性障害; 脳由来神経栄養因子(BDNF); 酸化およびミトコンドリアストレス
Stream:445	252(10): 活性炭; 単層吸着容量; 活性炭の調製; メチレンブルーを用いた定量;
Stream:446	480(10): スピンアイス; 磁気単極子; 人工スピンアイス; 磁荷; 基底状態
Stream:447	497(10): 結晶セルロース; トリコデルマリナーゼ; 植物細胞壁; 酵素加水分解;
Stream:448	530(10): ファジールールベース; 進化的アルゴリズム; 遺伝的アルゴリズム; ファジシステム; データセット
Stream:449	531(10): 母子感染; 母子感染の防止; HIVに感染した; 抗レトロウイルス療法;
Stream:450	558(10): 上部マントル; 岩流圈-岩石圏境界; レシーバ関数解析; せん断波速度; 糸口の深さ
Stream:451	571(10): alpha(v)beta(3)-インテグリン; RGDペプチド; インテグリンのターゲット;
Stream:452	592(10): PI3K; 哺乳類ラパマイシン標的タンパク(mTOR); PI3K/Akt/mTOR経
Stream:453	711(10): 肺がん; 非小細胞肺がん(NSCLC); 肺腺がん; 細胞がん; 扁平上皮が
Stream:454	132(9): Fictitious Time Integration Method(FTIM); 非線形代数方程式系; 数値
Stream:455	206(9): 再生可能エネルギー; エネルギーシステム; 電気自動車; 風力; 地域熱
Stream:456	235(9): ストア作動性カルシウム流入(SOCE); 原形質膜; 小胞体(ER); カルシ
Stream:457	254(9): 交代制の仕事; 夜勤; 概日リズム; 概日リズム破壊; 夜の光
Stream:458	263(9): 食物網; サイズ構造; 体の大きさ; 気候変動; コミュニティのサイズ構造
Stream:459	300(9): 体幹部定位放射線治療(SBRT); 細胞肺がん; I期の非小細胞肺がん
Stream:460	309(9): ソーシャルネットワーキングサイト; 社会ネットワーク; Facebook; オンラ
Stream:461	402(9): 凸体; Isotropic log concave; Isotropic convex body; p重心ボディ; Brunn-Minkowski不等式
Stream:462	413(9): 卵巣がん; 上皮性卵巣がん; ヒト精巣上皮分泌タンパク質(HE4); 骨量
Stream:463	445(9): 脆弱性X症候群; 脆弱X精神遅滞タンパク質(FMRP); 代謝型グルタミン酸受容体; 結節性硬化症複合体; シナプス可塑性

Stream:464	446(9): 経済地理学; 地域経済成長; 外部知識; 認知的近接性; 不均等発展
Stream:465	449(9): コヒーレントシステム; 順序統計量; 平均寿命; ハザード比; コンポーネントの寿命
Stream:466	477(9): 活性領域; 動作領域; 活動域; 磁場; 可視光・磁場望遠鏡; quiet Sun;
Stream:467	516(9): 圧縮性Navier-Stokes-Poisson方程式; Navier-Stokes-Poisson方程式; 最適な時間減衰; Boltzmann方程式; 大域
Stream:468	534(9): 学習環境; コンテキスト利用型ユビキタス学習; 学習システム; 学習活
Stream:469	588(9): 情動表出の制御; 認知神経科学; 恐怖; 嫌悪; 基本的な感情; 認知プロセス
Stream:470	632(9): 環境刺激; 参加者は~を継続する時間を大きく増加させた; 発達障害;
Stream:471	663(9): 非典型性溶血性尿毒症症候群(aHUS); 補充因子H; 代替経路; 補体活性化; 血栓性微小血管症
Stream:472	135(8): 透過型電子顕微鏡(TEM); 電界放出; 光学的性質; 走査型電子顕微鏡;
Stream:473	80(8): 政治行動; 双子だけのデザイン; 政治学; 政治的嗜好; 行動遺伝学
Stream:474	185(8): スロースリップ; スロースリップイベント; 沈み込み帯; プレート境界; 低
Stream:475	379(8): ゆらぎの定理; エントロピー生成; 定常状態; Total entropy production; 非平衡定常状態
Stream:476	412(8): 媒介分析; 直接・間接的な影響; 因果推論; 制御された直接効果;
Stream:477	442(8): エボラウイルス; 重度の出血熱; マールブルグウイルス(MARV) とエボラウイルス(EBOV); フィロウィルス感染症; マールブルグウイルス(MARV)
Stream:478	450(8): 遺伝的にコードされたカルシウム; 遺伝的にコードされたカルシウム指
Stream:479	476(8): 偶発病変; 研究参加者; 個々の研究結果; インフォームド・コンセント;
Stream:480	485(8): 指数ランダムグラフ; 指数ランダムグラフモデル; ランダムグラフモデ
Stream:481	502(8): タンパク質の構造; タンパク質構造予測; CASP9(国際的なタンパク質
Stream:482	575(8): フレーミング効果; 移民の帰化; 世論; 直接民主主義のキャンペーン;
Stream:483	710(8): ロジウム触媒による不斉; アリールポロンのロジウム触媒不斉1; 4-
Stream:484	720(8): 樹状細胞(DC); 形質細胞様樹状細胞(pDCs); 適応免疫応答; 自然免
Stream:485	707(7): 質量分析法; イオン移動度質量; 気相; エレクトロスプレーイオン化質量
Stream:486	747(7): デリクレン過程; ノンパラメトリックベイズ統計; 混合モデル; マルコフ連鎖

Stream:487	112(7): 分子力学: 液体水: 分子第一原理: 水素結合: 経路積分分子力学
Stream:488	123(7): ヘリコバクター・ピロリ: ピロリ菌感染: ヘリコバクター・ピロリ除菌: 3剤併用: 尿素呼吸試験
Stream:489	182(7): 持続血糖測定(CGМ): 1型糖尿病: インスリンポンプ: 血糖: インスリン
Stream:490	225(7): 密度汎関数理論: ボロンノチューブ: ホウ素クラスター: 第一原理計算: ホウ素シート
Stream:491	236(7): 腹側被蓋野(VTA): ドーパミンニューロン: 外側手綱: 腹側被蓋野(VTA)
Stream:492	237(7): 乳房再建: 無細胞真皮マトリックス: 再建: 組織エキスパンダー: 被膜拘縮
Stream:493	295(7): Space Shift Keying(SSK) Modulation: 空間変調: 多入力多出力
Stream:494	327(7): 安定同位体: 安定同位体分析: delta C-13 と delta N-15: delta C-13 values: 食物網
Stream:495	414(7): 浅大脳動脈: 重症虚血肢: 一次閉塞: 閉塞率: バルーン血管形成術
Stream:496	416(7): ループ量子重力理論: Spin foam: Spin foamモデル: スピンネットワーク: BF理論
Stream:497	435(7): 食品価格: 公衆衛生: 砂糖加糖飲料: 健康食品: 食品消費
Stream:498	471(7): 血中のカルジオール(25-ヒドロキシビタミンD, 25(OH)D): ビタミンDの状態: ビタミンDレベル: ビタミンD欠乏症: 25-ヒドロキシビタミンD
Stream:499	474(7): リゾホスファチジン酸(LPA): リゾホスファチジン酸(LPA)受容体: Gタン
Stream:500	483(7): モード分割多重: モードファイバ: マルチモード光ファイバーでの非線形伝播: 16点直交振幅変調(16-QAM): PM-QPSK(偏波モードQPSK)
Stream:501	700(7): ハーモニー検索アルゴリズム: 最適化問題: メタヒューリスティックアル
Stream:502	712(7): 染色体の高次構造のキャプチャ(3C): ゲノムワイド: 調節エレメント: 転写因子: クロマチン構成
Stream:503	731(7): Toll様受容体: 自然免疫: 免疫応答: 自然免疫系: Toll様受容体(TLR4)
Stream:504	17(6): Solar Dynamics Observatory(SDO, 太陽観測衛星): AIA(Atmospheric Imaging Assembly): 活性領域
Stream:505	69(6): 農業暴露: 有機リン系農薬: 有機りん系農薬: クロロピリロス: 出生前暴
Stream:506	118(6): 経口内視鏡的括約筋切開: 自然開口部経管腔的内視鏡手術
Stream:507	148(6): ミズクラゲ(Aurelia aurita): クラゲの大量発生: 海洋生態系: ゼラチン質
Stream:508	204(6): エネルギー効率: エネルギー消費: 細胞ネットワーク: 基地局: 資源配
Stream:509	217(6): 抗酸化活性: ラジカル捕捉活性: タンパク質加水分解物: 加水分解度:

Stream:510	226(6): 縮小基底(RB); 縮小基底(RB)法; 事後誤差; オフライン; オンライン計
Stream:511	276(6): ガロア表現; モジュラー形式; ガロア群; 有限フラットモデル; 楕円曲線
Stream:512	280(6): Low-rank; HSS行列; hierarchically semiseparable(HSS) matrices;
Stream:513	288(6): 間葉移行; 上皮間葉移行; トランスフォーミング増殖因子(TGF-beta 1);
Stream:514	290(6): 前立腺がん; 拡散強調画像(DWI); 核磁気共鳴; ガイド下生検; 経直腸
Stream:515	325(6): 再生医学; 細胞外マトリックス; 幹細胞; 再生医療; 組織工学
Stream:516	340(6): 変数選択; ベイズ変数選択; ベイズモデル; スケール混合; 回帰係数
Stream:517	347(6): アンサンブルカルマンフィルタ; データ同化; 透水コンダクタンス; 土壌水分; 粒子フィルター
Stream:518	382(6): 性格特性; 人格障害; パーソナリティの5因子モデル; DSM-IV(精神障
Stream:519	383(6): ひずみ速度; 流動応力; 高温圧縮試験; 温度とひずみ速度; 高温変形挙動
Stream:520	394(6): 輸血関連急性肺障害(TRALI); 輸血関連急性肺; 輸血関連の罹患率お
Stream:521	405(6): 一酸化窒素; 生産; 植物; 役割; 硝酸レダクターゼ
Stream:522	417(6): ヒトパピローマウイルス; HPVワクチン; 子宮頸がん; HPV感染症; HPV
Stream:523	429(6): 豚繁殖・呼吸障害症候群; 豚繁殖・呼吸障害症候群ウイルス(PRRSV); 豚繁殖・呼吸障害症候群ウイルス; 高病原性豚繁殖・呼吸障害症
Stream:524	440(6): 不動点; CAT(0) Spaces; 縮小写像; Asymptotic pointwise
Stream:525	457(6): 内戦; 北コーカサス; 暴力のレベル; 暴力の地理学; 北コーカサスでの暴力
Stream:526	459(6): 定量的構造活性相関(QSAR); QSARモデル; 定量的構造活性相関; 試
Stream:527	492(6): 携帯電話; テキストメッセージ; ショートメッセージサービス(SMS); 携帯電話テキストメッセージ; ランダム化比較試験
Stream:528	493(6): プラズマシート; 磁場; 太陽風; サブストーム中のイベントとマクロス
Stream:529	496(6): 乳がん; ボディマス指数; 乳がんのリスク; 肥満は~と関連している; がん予防
Stream:530	498(6): 固体酸化物型燃料電池; 固体酸化物燃料電池; 固体酸化物型燃料電
Stream:531	504(6): 気候変動; 気候モデル; 地球温暖化; 極端降水量; 酷暑; 熱波
Stream:532	522(6): 動的因果モデリング(DCM); Effective connectivity analysis; 機能的磁

Stream:533	527(6): 重大な欠陥、内部統制、財務報告に係る内部統制、内部監査、アウグ
Stream:534	533(6): 二重不等式、Power mean of order p、Seiffert Mean、harmonic、and
Stream:535	554(6): 単純反復配列(SSR)マーカー、単純反復配列(SSR)、栽培種ビーナッツ、
Stream:536	559(6): アミノ酸、食物L-アルギニン補給、一酸化窒素、アルギニン補充、食事
Stream:537	588(6): アンテナアレイ、サイドロープレベル、低サイドロープレベル、サイドロー
Stream:538	590(6): Non-Gaussianity、ゆっくり転がるインフレーション、フィールドインフ
Stream:539	603(6): 分散型電源、流通網、配電網、分散型電源ユニット、DGユニット、流通
Stream:540	665(6): 有限要素、ポリマーネットワーク、膨張が誘導する、表面融解、感受性ヒ
Stream:541	41(5): DC-DCコンバータ、High step、ステップアップDC-DCコンバータ、ステッ
Stream:542	52(5): 複合組織同種移植、顔面移植、顔面複合組織、総経、固形臓器移植
Stream:543	100(5): ワーキングメモリ、ワーキングメモリの訓練、認知訓練、実行機能、研修
Stream:544	108(5): Shearlet変換、ウェーブレット変換、連続Shearlet、Shearlet変換にもとづ
Stream:545	117(5): オキシ燃料、石炭燃焼、オキシ燃料燃焼、排気ガス、微粉炭
Stream:546	124(5): ポリアニン(PANI)、アニリンの酸化重合、アンモニアによるアニリンの
Stream:547	160(5): 水和物形成、ガス水和物、アンモニウムブロミド、クラスレート水和物、
Stream:548	166(5): テントウムシ種、ナミテントウ、生物的防除、テントウムシ、ギルド内捕
Stream:549	172(5): 触媒性能、ゼオライト結晶、ZSM-5ゼオライト、Si/Al、表面積
Stream:550	177(5): Cayley graphs、SL ₂ (Z) generating a Zariski dense subgroup of SL ₂ 、積
Stream:551	188(5): 紫外線B波の照射、シロイヌナズナ、紫外線B波の誘発する、光信号伝
Stream:552	190(5): HIVに感染した、抗レトロウイルス療法、HIV感染症の患者、HIV感染、プ
Stream:553	192(5): 植物細胞、植物病原性のTranscription Activator-Like (TAL) エフェク
Stream:554	255(5): 食物アレルギー、アレルギー特異的免疫療法、経口免疫療法、食物ア
Stream:555	275(5): ハンドノッチ、モノポールアンテナ、グラウンド-プレーン、UWBアプリケーション

Stream:556	283(5): アルツハイマー病(AD); グルカゴン様ペプチド-1(GLP-1); ペータアミロイド; 認識低下; 2型糖尿病
Stream:557	304(5): 耐性黄色ブドウ球菌; メチシリン耐性黄色ブドウ球菌(MRSA); グラム
Stream:558	308(5): 微小脳出血(CMBs); 脳アミロイド血管症(CAA); 白質; 小血管疾患; 脳内出血(OCH)
Stream:559	310(5): ドナーアセプターシクロプロパン; ルイス酸触媒; 開環; 活性化したシ
Stream:560	346(5): タンパク質酸化; 脂質酸化; MAP包装(ガス充填包装); 高酸素MAP包
Stream:561	361(5): 食糧摂取量; 食品の手がかり; 食品への応答; 食品の報酬; 機能的磁
Stream:562	372(5): ビタミンD欠乏症; 血中のカルシジオール(25-ヒドロキシビタミンD)
Stream:563	388(5): 関節リウマチ; RA患者; 関節リウマチの患者; 心血管(CV) 系リスク; 危
Stream:564	390(5): 格子ボルツマン法; 自然対流; レイリー数; 熱伝達; 平均セル数との
Stream:565	392(5): ライフサイクルアセスメント; 生産システム; 温室効果ガス排出量; 環境
Stream:566	427(5): フォトニック結晶; コロイド結晶; コロイド状フォトニック結晶; 磁場; 自己
Stream:567	451(5): 聴性脳幹反応; 音楽の訓練; ノイズ認知でのスピーチ; 言語知覚; 聴覚
Stream:568	464(5): 二重供給誘導発電機; 風力タービン; 回転子電流; 系統変換器; 有
Stream:569	494(5): 肺炎連鎖球菌; 肺炎球菌結合型ワクチン; ~髄膜炎球菌結合型ワクチン; 侵襲性肺炎球菌感染症(IPD); 髄膜炎球菌結合型ワクチン
Stream:570	512(5): 心の理論(ToM); 心の理論; 社会的認知; 統合失調症の患者; 健常対
Stream:571	513(5): 粒子群最適化(PSO); 最適化問題; 多目的; 群最適化アルゴリズム; 多目的最適化
Stream:572	524(5): 熱帯熱マラリア原虫; 赤血球浸潤; マラリア原虫; アピコンプレキサ寄生
Stream:573	547(5): 乳がん; がん検診; マンモグラフィによる乳がん検診; ~歳の女性; 乳がんの死亡率
Stream:574	549(5): アンジオテンシン受容体ブロッカー; アンジオテンシン変換酵素
Stream:575	562(5): 動学的確率的一般均衡モデル; 景気循環; 金融政策; 小規模開放経済; 金利スーム・ジグ
Stream:576	579(5): ベルの不等式; デバイスに依存しない量子鍵配送; デバイスに依存し
Stream:577	601(5): CU特性(反社会性行動を表す児童に特徴的なもの); 非感情的な形質; 障害を行う; 反社会的行動; 精神病的形質
Stream:578	606(5): マウンテンバインビートル; キウイムシ; ロッジボールバイン; カプトムシ

Stream:579	622(5): 知識翻訳: インプリメンテーション・リサーチ: エビデンスにもとづくメンタルヘルス: 行政エビデンスにもとづく実践
Stream:580	624(5): アルコール摂取: 適量の飲酒: アルコール消費量との関連付け: アル
Stream:581	633(5): 永久磁石: Flux-switching permanent magnet(FSPM) motors: 有限要素解析: Flux-switching perma
Stream:582	639(5): 線形モーター: タンパク質相互作用(PTI): 短い線形モーター: リン酸化
Stream:583	648(5): シリコナノワイヤ: 配向シリコナノワイヤ: シリコナノワイヤアレイ: 生細胞: 細胞膜
Stream:584	660(5): 子ども: 栄養状態: 塗上画: 乳児および幼児: 小児保健
Stream:585	671(5): 乳がん: 乳がん発生率: ホルモン療法: ホルモン補充療法: 女性の健康イニシアチブ
Stream:586	685(5): 地中海式ダイエット: 地中海式ダイエットの順守: 横断的: 食物頻度ア
Stream:587	696(5): アマモ(<i>Zostera marina</i>): 海草の草原: 海草蒸床: 海草種: 海草
Stream:588	816(5): 光触媒活性: 可視光: 可視光照射: 高い光触媒活性: UV-vis拡散反射
Stream:589	824(4): ヒスタミンH ₃ -3レセプター: H ₃ 受容体拮抗薬: 受容体のインバースアゴ
Stream:590	88(4): HIV関連神経認知障害: HIV関連神経認知: HIVに感染した: HIV感染: 抗
Stream:591	83(4): 大気汚染: 交通関連の大気汚染: 大気汚染物質: 粒子状物質: 二酸化
Stream:592	62(4): グルタミン酸受容体: NMDA受容体: イオンチャネル共役型グルタミン酸
Stream:593	66(4): アスペルギルス <i>fumigatus</i> : アンゾール耐性: フミガーツフ分離株: Cyp51A
Stream:594	84(4): 経腸栄養法: 静脈栄養: 重病の: 重症患者: 集中治療室
Stream:595	95(4): Toxin-Antitoxin(TA): Toxin-Antitoxin(TA) システム: 休眠状態の細菌:
Stream:596	110(4): キラル効果的な場の理論: 3核子: 核子-核子: 核子の相互作用: 2核子
Stream:597	115(4): 筋タンパク: 抵抗運動: 筋タンパク質の合成: 骨格筋: 筋萎縮
Stream:598	116(4): アスペルギルス <i>nidulans</i> : 二次代謝: 二次代謝産物: 糸状菌: 性的発育
Stream:599	122(4): 3臨界点の定理: 3つの解: 3つの解の存在: 境界値問題: 少なくとも3の
Stream:600	183(4): 遺伝子環境: 環境相互作用: ゲノムワイド関連: 症例対照: 遺伝的および環境的要因
Stream:601	195(4): グリホサート耐性: 雑草管理: 雑草種: 除草剤耐性: 雑草防除

Stream:602	198(4): 脳転移: 全脳放射線治療: 脳転移のある患者: 定位放射線治療: 全脳放射線療法
Stream:603	213(4): 溶解有機炭素: 励起・蛍光マトリックス (EEM): 並列因子分析: 蛍光分
Stream:604	218(4): テキストマイニング: CMLの構成: ウェブの可能性: Chemical Markup Language(CML): コンピュータが理解できる
Stream:605	219(4): 身体活動: 活動的旅行: 通学: 徒歩通学: 走行モード
Stream:606	223(4): アマゾンメカニカルターク: オンライン労働市場: 多様な主題プル: Amazonで研究: 行動研究を行って
Stream:607	227(4): 結晶構造: オングストロームの分解能: 活性部位: 空間群に属してい
Stream:608	239(4): 量子カスケードレーザ: 室温連続発振: しきい値電流密度: 中赤外量子カスケード: 室温
Stream:609	245(4): 離散時間高木-菅野ファジーモデル: 閉ループの: 高木-菅野ファジー
Stream:610	253(4): 多様性の違い: 分科会: ~人からなるチーム: チームレベル: グループの多様性
Stream:611	259(4): 情報理論的アプローチ: モデル選択: 体の大きさ: 行動生態学者を支
Stream:612	265(4): プロトン伝導度: スルホン化ポリ(アリーレンエーテルスルホン): 燃料電池: プロトン交換膜: 高いプロトン伝導性
Stream:613	277(4): 黒光型太陽熱発電 (CSP): 2段階水分解: 太陽光熱化学: 熱化学サイ
Stream:614	278(4): 気候変動: 大気汚染: 公衆衛生: 身体活動: コベネフィット
Stream:615	279(4): 動的ネットワーク: 複雑な動的ネットワーク: 射影同期を達成するため
Stream:616	292(4): 液体クロマトグラフィー-タンデム質量分析(LC-MS/MS): LC-MS/MS法:
Stream:617	307(4): オープンイノベーション: 中小企業: イノベーションプロセス: 小規模およ
Stream:618	313(4): 衛星細胞: 骨格筋幹細胞: 骨格筋: 幹細胞: 筋肉の再生
Stream:619	315(4): 分子動力学シミュレーション: カーボンナノチューブ: 水分子: 単層カー
Stream:620	316(4): 原子プローブ断層撮影法(APT): 三次元アトムプローブ: レーザー補助
Stream:621	326(4): 加齢性黄斑変性症(AMD): 補完因子H: 加齢性黄斑変性症(AMD)の危
Stream:622	329(4): 風速: Pan evaporation: 気候変動: Penman-Monteith方程式: 気温
Stream:623	330(4): 1型糖尿病: ベータ細胞: エンテロウイルス感染: インスリン産生の破壊を介して: ウイルス感染
Stream:624	332(4): グルカゴン様ペプチド-1(GLP-1): 味覚受容体: 膵内分泌細胞: 甘味:

Stream:625	359(4): スピントロオーバー、スピントリフ、高スピントリフ、低スピントリフ、スピントリフ状態
Stream:626	382(4): O熱起因菌(C. burnetii)、O熱の大流行、酪農ヤギ牧場、オランダの熱
Stream:627	383(4): カルシウム/カルモジュリン依存性プロテインキナーゼII、カルモジュリン依存性プロテインキナーゼII、筋小胞体(SR)、リアソジン受容体、心不全
Stream:628	366(4): 双極性障害(BD)、双極性障害(BD)の患者、実行機能、健常対照群、認
Stream:629	367(4): メチルエステル、燃料特性、酸化安定性、脂肪酸、動粘性率
Stream:630	375(4): 患者の安全、手術室、手術の安全性のチェックリスト、ヘルスケア、品質
Stream:631	381(4): 甲状腺がん、甲状腺乳頭がん、分化型甲状腺がん、甲状腺がんの発生、甲状腺がんのリスク
Stream:632	387(4): 制度理論、企業の社会的責任、コーポレート・ガバナンス、調整型市場
Stream:633	396(4): Soil and Water Assessment Tool(SWAT)、SWATモデル、水質、Nash-Sutcliffe効率係数、河川流域
Stream:634	397(4): 双アルギニン転座、枯草菌、ツインアルギニン転座(Tai)、折り畳まれた
Stream:635	399(4): 系統発生解析、核遺伝子、分子系統発生学、齧齧目、最尤法
Stream:636	408(4): インスリン様成長因子(IGF-1)、インスリン様成長因子(IGF-1)受容体
Stream:637	425(4): 対流雲、エアロゾル雲、雲エアロゾル相互作用、雲エアロゾル相互作用と降水強化、CAIPEX(Cloud Aerosol Interaction and
Stream:638	433(4): イオン注入、平面導波路、屈折率、光チャネル導波路、光導波路
Stream:639	436(4): 身体活動、行動変容、〜にもとづく介入、ランダム化比較試験、身体活動の介入
Stream:640	441(4): 動脈硬化性の病変、骨髄、核内受容体、髄外造血、抗炎症
Stream:641	443(4): 末期腎臓病、慢性腎臓病(CKD)、透析患者、透析導入、高齢患者
Stream:642	447(4): 多剤耐性結核、ヒト結核菌、ミコール酸、抗結核薬、薬剤耐性結核
Stream:643	452(4): ハーババウム-サンダース分布、実際のデータ、最尤法、サンプリング
Stream:644	466(4): ミツバチ、社会性昆虫、遺伝的多様性、セイヨウミツバチ(Apis mellifera)
Stream:645	479(4): 屈折異常、近視の進行、網膜周辺部の相対的な、周辺屈折、等価球面
Stream:646	481(4): 運動トレーニング、心不全、慢性心不全、有酸素インターバルトレーニング
Stream:647	484(4): エネルギー消費、消費電力、光学ネットワーク、エネルギー効率、WDM

Stream:648	588(4): 流体応答性: 一回拍出量の変動(SVV); 中心静脈圧; 脈圧変動; 流体
Stream:649	508(4): 量子ドット; フォトニック結晶; 単一光子; 単一量子ドット; キャビティモー
Stream:650	510(4): 人生の終わり; 緩和ケア; ライフケアの終わり; アドバンスケアプランニ ング; 事前指示
Stream:651	528(4): 労働市場; 出生時体重; 成人後の影響; 低出生体重; JEL I12
Stream:652	538(4): ネットワークメタ解析; メタ分析; 治療の比較; 混合治療の比較; ランダ ム化比較試験
Stream:653	539(4): 妊娠糖尿病; 経口的ブドウ糖負荷試験; 妊娠中の女性; 不利な妊娠結
Stream:654	541(4): Institution based view; 産業ベースとリソースベース; 新興経済国; スト ラテジートライボット; 上場大企業
Stream:655	552(4): 海洋生態系; エコシステムマネジメント; 全てを含む生態系モデル; 食
Stream:656	555(4): 最適化アルゴリズム; Teaching-learning-based optimization; ティーチ ング・学習にもとづく最適化; 最適化問題; 粒子群最適
Stream:657	576(4): 陸上植物; 最古の陸上植物; 維管束植物; テボニ紀前期; 系統発生解
Stream:658	597(4): 薬物の常用; 遅延割引; 自己投与; 薬物乱用; 個人差
Stream:659	500(4): 治水方程式; 有限体積; ダムの決壊; Godunov型スキーム; ソースター
Stream:660	604(4): 脂肪酸; 長鎖多価不飽和脂肪酸(LCPUFA); ドコサヘキサエン酸(DHA); リノール酸や α -リノレン酸; リノール酸
Stream:661	612(4): 階級選択; 階級選択実験; コンジョイント分析; 患者の意向; 属性レベ
Stream:662	614(4): インド洋; 海面温度; 海面水温; エルニーニョ現象; アジアの夏季モン soon
Stream:663	618(4): 脂肪組織; 心外膜脂肪組織; 内臓脂肪; コンピュータ断層撮影(CT); 冠
Stream:664	620(4): 細胞壁; 細菌性細胞; 大腸菌; 細胞形状; 棒状の細菌
Stream:665	621(4): I型インターフェロン; 全身性エリテマトーデス(SLE)の治療薬; アイカル
Stream:666	638(4): 気候変動; 岩礁; 体温; Mussel Mytilus; 潮間帯生物
Stream:667	643(4): 伝送断の確率(Outage probability); 回線選択; 閉形式(Closed-form
Stream:668	670(4): 制御性T細胞; 移植片対宿主; 移植片対宿主病(GVHD); クリオグロブリ
Stream:669	673(4): 可逆性後頭葉白質脳症(PRES); 可逆性脳血管狭窄症候群(RCVS); 雷
Stream:670	678(4): Th17細胞; 実験的自己免疫性脳脊髄炎; 髄鞘脱髄オープンファン受容体V T;

Stream:671

679(4): メチシリン耐性黄色ブドウ球菌 (MRSA); メチシリン耐性黄色ブドウ球菌

Stream:672

686(4): 骨再生; 骨形成; 骨形成タンパク質-2(BMP-2); 再生医学; 骨欠損

Stream:673

695(4): バネルデータ; 空間バネルデータ; バネルデータモデル; 空間的自己回

Stream:674

717(4): 膵臓がん; 膵管内乳頭粘液性腫瘍; 悪性新生物; 膵臓癌; 膵臓癌が

Stream:675

743(4): 銅触媒; H-リン酸化物を用いたN-トシルヒドラゾンのカップリング; Pd